

UNIVERSIDADE FEDERAL DA PARAÍBA
CENTRO DE TECNOLOGIA
PROGRAMA DE PÓS GRADUAÇÃO EM ENGENHARIA DE PRODUÇÃO

WALTON PEREIRA COUTINHO

UM ALGORITMO *BRANCH-AND-BOUND* PARA O PROBLEMA DO CAIXEIRO
VIAJANTE SUFICIENTEMENTE PRÓXIMO

JOÃO PESSOA

2014

WALTON PEREIRA COUTINHO

UM ALGORITMO *BRANCH-AND-BOUND* PARA O PROBLEMA DO CAIXEIRO
VIAJANTE SUFICIENTEMENTE PRÓXIMO

Dissertação apresentada ao curso de Pós-Graduação em Engenharia de Produção da Universidade Federal da Paraíba, como requisito final para obtenção do Grau de Mestre. Área de Concentração: Pesquisa Operacional.

Orientador: Prof. Dr. Roberto Quirino do Nascimento

Co-orientador: Prof. Dr. Anand Subramanian

João Pessoa

2014

WALTON PEREIRA COUTINHO

UM ALGORITMO *BRANCH-AND-BOUND* PARA O PROBLEMA DO CAIXEIRO
VIAJANTE SUFICIENTEMENTE PRÓXIMO

Dissertação apresentada ao curso de Pós-Graduação em Engenharia de Produção da Universidade Federal da Paraíba, como requisito final para obtenção do Grau de Mestre. Área de Concentração: Pesquisa Operacional.

Aprovada em 13 de Fevereiro de 2014.

BANCA EXAMINADORA

Prof. Dr. Roberto Quirino do Nascimento — Orientador
Departamento de Computação Científica — UFPB

Prof. Dr. Anand Subramanian — Co-orientador
Departamento de Engenharia de Produção — UFPB

Prof. Dr. Lucídio dos Anjos Formiga Cabral — Examinador Interno
Departamento de Computação Científica — UFPB

Prof. Dr. Artur Alves Pessoa — Examinador Externo
Departamento de Engenharia de Produção — UFF

João Pessoa
2014

Aos meus pais Cosme Nivaldo Coutinho da
Silva e Marluce Albertino Pereira Coutinho.

As coisas encobertas são para o Senhor, nosso Deus; porém as reveladas são para nós e para nossos filhos, para sempre, para cumprirmos todas as palavras desta lei. (Dt.29:29)

AGRADECIMENTOS

Primeiramente gostaria de agradecer a Deus pela sua graça, todo o sustento e todos os livramentos que recebi durante esta jornada.

Aos meus pais, por terem se esforçado ao máximo, com sabedoria, privando-se diversas vezes de suas próprias necessidades para me proporcionar a melhor educação possível. Estes sim, eu considero como os verdadeiros mestres.

À toda minha família: novamente aos meus pais Nivaldo e Marluce; às minhas irmãs Kylma e Ilka; pela ligação fraterna que temos e pela ajuda e paciência nas horas necessárias; à minha Lidianne, pelo seu amor, companheirismo, cumplicidade, sabedoria e por ser tão bonita por dentro e por fora. Agradeço ainda às minhas tias/madrinhas Elza França e Christina Albertino por sempre me apoiarem quando precisei.

Aos meus comparsas Allan, Emerson e Jefferson, pelos momentos de descontração e a “zuada” que fazemos com a banda. Ao pastor Anderson e todos os meus irmãos da IECT, por terem orado por mim.

Agradeço especialmente aos meus orientadores Prof. Roberto Quirino e o Prof. Anand Subramanian, e ao meu orientador à distância Prof. Artur Pessoa. A estes, dedico as palavras de Isaac Newton quando disse “Se enxerguei mais longe, foi porque me apoiei sobre os ombros de gigantes”.

Aos meus amigos Raphael e Artur Kramer e Luciano Costa pela presença constante e ajuda crucial nos momentos em que precisei.

Aos colegas do mestrado, Fernanda, Léo, Emanoela, Íris, Tálita, Vitória, Elaine e Valtânia, em especial, pelo exemplo de dedicação e superação.

Ao pessoal do LabMeQA, Yuri, Acioli, Cathaline, Gracinha, Vitor, Bia, Katyanne, Teobaldo e Felipe, pela zueira e parceria nos congressos.

Aos Professores Lucídio Cabral, Luciano Costa e Marcel Góis por terem contribuído indiretamente para esta conquista.

Aos professores e funcionários do DEP e do PPGEF da UFPB, em especial Cláudia Gohr, Luiz Bueno, Maria Silene, Ana Araujo, Neto Davi e Nildo.

Finalmente à todos os que direta e indiretamente me auxiliaram nesta conquista.

RESUMO

Esta pesquisa trata do Problema do Caixeiro Viajante Suficientemente Próximo, uma variante do Problema do Caixeiro Viajante que possui diversas aplicações em logística. No Problema do Caixeiro Viajante Suficientemente Próximo, ao invés de visitar o próprio vértice (cliente), o caixeiro deve visitar uma região específica contendo este vértice. Para resolver este problema, é proposto um algoritmo exato, simples e efetivo, baseado em *branch-and-bound* e Programação Cônica de Segunda Ordem. O algoritmo proposto foi testado em 824 instâncias sugeridas na literatura. Soluções ótimas foram obtidas para instâncias com até mil vértices. Foram consideradas instâncias nos espaços bi e tridimensional.

Palavras-chave: problema do caixeiro viajante suficientemente próximo; *branch-and-bound*; programação cônica de segunda ordem; logística.

ABSTRACT

This research deals with the Close-Enough Traveling Salesman Problem, a variant of the Traveling Salesman Problem which has several applications in logistics. In the Close-Enough Traveling Salesman Problem, rather than visiting the vertex (customer) itself, the salesman must visit a specific region containing such vertex. To solve this problem, we propose a simple yet effective exact algorithm, based on Branch-and-Bound and Second Order Cone Programming. The proposed algorithm was tested in 824 instances suggested in the literature. Optimal solutions are obtained for open problems with up to a thousand vertices. We consider both instances in the two- and three-dimensional space.

Keywords: close-enough traveling salesman problem; branch-and-bound; second order cone programming; logistics.

SUMÁRIO

1	INTRODUÇÃO	12
1.1	DEFINIÇÃO DO TEMA E DO PROBLEMA DE PESQUISA	12
1.2	JUSTIFICATIVA	13
1.3	OBJETIVOS	15
1.3.1	Objetivo Geral	15
1.3.2	Objetivos Específicos	15
1.4	ESTRUTURA DO TRABALHO	16
2	REVISÃO BIBLIOGRÁFICA E FUNDAMENTAÇÃO TEÓRICA	17
2.1	PROBLEMA DO CAIXEIRO VIAJANTE SUFICIENTEMENTE PRÓ- XIMO	17
2.1.1	Definição Formal	17
2.1.2	Trabalhos Relacionados	18
2.2	CONCEITOS BÁSICOS SOBRE ALGORITMOS <i>BRANCH-AND-BOUND</i>	24
2.3	PROGRAMAÇÃO CÔNICA DE SEGUNDA ORDEM	26
2.3.1	Forma Geral	26
2.3.2	Reformulação de problemas quadráticos sob restrições quadráticas .	27
3	UM ALGORITMO <i>BRANCH-AND-BOUND</i> PARA O CETSP	29
3.1	DESCRIÇÃO DO MÉTODO	29
3.2	SUBPROBLEMA CÔNICO DE SEGUNDA ORDEM	31
3.3	RELAXAÇÃO DA RAIZ	32
3.4	CHECAGEM DA VIABILIDADE	33
3.5	REGRAS DE <i>BRANCHING</i>	34
4	RESULTADOS	36
4.1	EXPERIMENTOS COMPUTACIONAIS	36
4.2	SELEÇÃO DA ESTRATÉGIA DE <i>BRANCHING</i>	37
4.3	RESULTADOS OBTIDOS NAS INSTÂNCIAS DE Behdani e Smith (2013)	38
4.4	RESULTADOS OBTIDOS NAS INSTÂNCIAS 2D DE Mennell (2009) . .	39
4.5	RESULTADOS OBTIDOS NAS INSTÂNCIAS 3D DE Mennell (2009) . .	41
5	CONCLUSÃO E TRABALHOS FUTUROS	49
	Appendices	54
A	Soluções ótimas para as instâncias propostas por Behdani e Smith (2013)	55

LISTA DE FIGURAS

1.1	Solução Viável para o CETSP no \mathbb{R}^2	13
1.2	Solução Viável para o CETSP no \mathbb{R}^3	13
2.1	Ilustração do conceito de <i>hitting points</i>	17
2.2	Ilustração de uma solução viável para o problema do caixeiro viajante suficientemente próximo	18
2.3	Todas as possíveis Zonas de Steiner para três vértices que se interceptam	19
2.4	Ilustração do GP e uma solução viável para essa relaxação	21
2.5	Ilustração do AP e uma solução viável para essa relaxação	22
2.6	Ilustração mostrando as possíveis posições entre duas células no caso do GP	22
3.1	Exemplo do algoritmo proposto para uma instância com 7 vértices	30
3.2	Ilustração do procedimento para encontrar uma relaxação válida na raiz	33
3.3	Ilustração envolvendo três vértices e uma aresta em uma solução parcial para o CETSP	34
3.4	Ilustração da primeira regra de <i>branching</i>	35
3.5	Ilustração da segunda regra de <i>branching</i>	35
4.1	Resultado para a instância CETSP-6-19, $r = 0.25, 0.50$ e 1.0 , respectivamente.	39
4.2	<i>bubbles3</i> : À esquerda a solução encontrada por Mennell (2009), custo = 530.733. À direita a solução do <i>branch-and-bound</i> , custo = 529.955.	41
4.3	<i>d493</i> : À esquerda a solução do <i>branch-and-bound</i> , custo = 325.207; À direita a solução encontrada por Mennell (2009), custo = 335.592	42
4.4	Solução para <i>kroD100</i> , Raios iguais, 2D, $ V = 100$, Custo = 89.668	44
4.5	Solução para <i>team1_100rdmRad</i> , Raios Arbitrários, 2D, $ V = 101$, Custo = 388.537	44
4.6	Solução para <i>rat195</i> , Raios Iguais, 2D, Tamanho = 195, Custo = 67.991	44
4.7	Solução para <i>team3_300rdmRad</i> , Raios Arbitrários, 2D, $ V = 301$, Custo = 378.087	45
4.8	Solução para <i>lin318</i> , Raios Iguais, 2D, $ V = 318$, Custo = 1394.626	45
4.9	Solução para <i>d493</i> , Raios Iguais, 2D, $ V = 493$, Custo = 100.721	45
4.10	Solução para <i>kroD100</i> , Raios iguais, 3D, $ V = 100$, Custo = 91.663	47
4.11	Solução para <i>rat195rdmRad</i> , Raios arbitrários, 3D, $ V = 195$, Custo = 82.105	47
4.12	Solução para <i>team2_200</i> , Raios iguais, 3D, $ V = 201$, Custo = 273.383	47
4.13	Solução para <i>d493</i> , Raios iguais, 3D, $ V = 493$, Custo = 325.207	48
4.14	Solução para <i>team6_500</i> , Raios iguais, 3D, $ V = 501$, Custo = 230.923	48
4.15	Solução para <i>dsj1000</i> , Raios iguais, 3D, $ V = 1000$, Custo = 267.751	48

LISTA DE TABELAS

1.1	Algoritmos para o CETSP e problemas relacionados disponíveis na literatura	15
4.1	Resultados do experimento para escolha da estratégia de <i>branching</i>	38
4.2	Resumo dos resultados para as instâncias de Behdani e Smith	39
4.3	Resultados para instâncias 2D de Mennell	43
4.4	Resultados para instâncias 3D de Mennell	46
A.1	Resultados para as instâncias de Behdani $ V = 7, 9, 11, 13, r = 0.25$	55
A.2	Resultados para as instâncias de Behdani $ V = 15, 17, 19, 21, r = 0.25$	56
A.3	Resultados para as instâncias de Behdani $ V = 7, 9, 11, 13, r = 0.50$	57
A.4	Resultados para as instâncias de Behdani $ V = 15, 17, 19, 21, r = 0.50$	58
A.5	Resultados para as instâncias de Behdani $ V = 7, 9, 11, 13, r = 1.0$	59
A.6	Resultados para as instâncias de Behdani $ V = 15, 17, 19, 21, r = 1.0$	60

LISTA DE ABREVIACOES

AMR	<i>Automatic Meter Reading</i>
AP	<i>Arc-based Partitioning</i>
BeFS	<i>Best-First Search</i>
BFS	<i>Breadth-First Search</i>
CEARP	<i>Close-Enough Arc Routing Problem</i>
CETSP	<i>Close-Enough Traveling Salesman Problem</i>
DFS	<i>Depth-First Search</i>
GP	<i>Grid-based Partitioning</i>
MINLP	<i>Mixed-Integer Nonlinear Programming</i>
MIP	<i>Mixed-Integer Programming</i>
ORRP	<i>Optimal Robot Routing Problem</i>
QCQP	<i>Quadratically Constrained Quadratic Programming</i>
RFID	<i>Radio-Frequency Identification</i>
SOCP	<i>Second Order Cone Programming</i>
TSP	<i>Traveling Salesman Problem</i>
TSPN	<i>Traveling Salesman Problem With Neighborhoods</i>
UAV	<i>Unmanned Aerial Vehicle</i>

1 INTRODUÇÃO

1.1 DEFINIÇÃO DO TEMA E DO PROBLEMA DE PESQUISA

O Problema do Caixeiro Viajante (TSP, do inglês *Traveling Salesman Problem*) é um dos problemas mais conhecidos no ramo da Pesquisa Operacional. O TSP consiste em determinar um Caminho Hamiltoniano de comprimento mínimo sobre um grafo (orientado ou não) de modo que todos os vértices do grafo sejam visitados pelo caixeiro. De modo semelhante, o Problema do Caixeiro Viajante Euclidiano (ETSP, do inglês *Euclidean Traveling Salesman Problem*) consiste em encontrar um *tour* de comprimento mínimo sobre um conjunto de pontos em um espaço Euclidiano.

O Problema do Caixeiro Viajante Suficientemente Próximo (CETSP, do inglês *Close-Enough Traveling Salesman Problem*) é uma generalização do TSP e pode ser visto, de acordo com Mennell (2009), como um caso particular de três outros problemas relacionados com o TSP: O Problema do Caixeiro Viajante com Vizinhanças (TSPN, do inglês *Traveling Salesman Problem with Neighbors*) (Arkin e Hassin, 1994), o Problema do Caixeiro Viajante Generalizado (Silberholz e Golden, 2007) e o *Covering Tour Problem* (Gendreau et al, 1997). O CETSP é um problema \mathcal{NP} -Hard uma vez que ele generaliza o TSP, para o caso quando $r_i \rightarrow 0 \forall i \in V$, que é um problema conhecidamente \mathcal{NP} -Hard.

No CETSP, ao invés de visitar a exata localização do vértice como no ETSP, o caixeiro deve visitar uma região específica que contenha tal vértice. Neste trabalho, considera-se as regiões de cobertura como círculos. Esta é uma hipótese clássica na literatura do CETSP. Desta forma, seja V o conjunto de vértices, então um vértice $i \in V = \{1, \dots, n\}$ é considerado coberto se o caixeiro passar através do disco D_i com raio r_i contendo o vértice

i ou pelo menos tocar na borda deste disco. Em um espaço tridimensional as regiões são consideradas como esferas e, de modo semelhante, os vértices são considerados cobertos se o caixeiro passa através de ou pelo menos toca a fronteira de suas respectivas esferas. A Figura 1.1 ilustra um exemplo de uma solução viável para o CETSP em um espaço bidimensional, de modo análogo a Figura 1.2 mostra uma solução viável para o CETSP no espaço tridimensional.

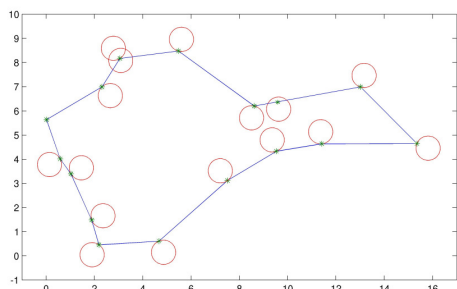


Figura 1.1: Solução Viável para o CETSP no \mathbb{R}^2

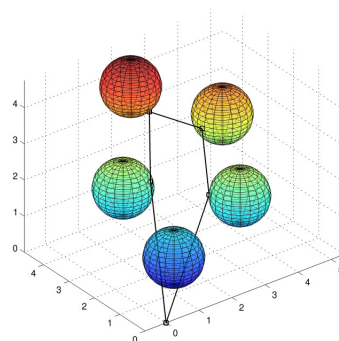


Figura 1.2: Solução Viável para o CETSP no \mathbb{R}^3

Diversas heurísticas foram desenvolvidas para encontrar soluções sub-ótimas para o CETSP. Em seu trabalho recente, Behdani e Smith (2013) destaca que existe uma carência de algoritmos exatos para a solução do CETSP. Mennell et al (2011) destaca ainda que mesmo desenvolver bons *lower bounds* para o CETSP é uma tarefa não trivial. Até onde se sabe este trabalho é o primeiro a propor um método que produz soluções ótimas para o CETSP. Mais especificamente, propõe-se um algoritmo *branch-and-bound* combinatório, simples e ao mesmo tempo efetivo, no qual o subproblema é baseado em uma formulação de Programação Cônica de Segunda Ordem (SOCP, do inglês *Second-Order Cone Programming*) (Lobo et al, 1998; Alizadeh e Goldfarb, 2003; Boyd e Vandenberghe, 2004), capaz de resolver instancias com até mil vértices, dependendo de suas características, em espaços Euclidianos de duas ou três dimensões.

1.2 JUSTIFICATIVA

O TSP é um problema clássico da literatura que possui aplicações diretas na Engenharia de Produção, como por exemplo em logística. O CETSP também possui diversas aplica-

ções em problemas reais. Por exemplo, através do uso de etiquetas de Identificação Por Radiofrequência (RFID, do inglês *Radio Frequency Identification*) conectadas a medidores físicos pode-se codificar o número do medidor e sua respectiva leitura em sinais digitais. Desta forma, um veículo equipado com um Sistema de Leitura Automática (AMR, do inglês *Automatic Meter Reading*) poderá coletar os dados dos medidores a partir de uma certa distância. Portanto, em um contexto de AMR, o veículo não necessita visitar a exata localização de cada cliente, mas apenas passar a uma certa distância (raio). (Gulczynski et al, 2006; Dong et al, 2007).

Veículos Aéreos Não Tripulados (UAVs, do inglês do inglês *Unmanned Aerial Vehicles*), também conhecidos como *drones*, são aeronaves que não precisam de uma tripulação a bordo. UAVs podem ser controlados através de comandos automatizados a partir de um computador remoto e/ou por um controle remoto operado por um piloto à distância. O propósito principal para o uso de UAVs veio a partir de operações militares especiais, onde a presença de uma tripulação humana torna-se muito perigosa para ser considerada.

No entanto, UAVs não são usados apenas em operações militares. Diversas aplicações civís surgem a cada dia, como exemplos do uso de UAVs pode se citar operações de reconhecimento aéreo, detecção aérea de incêndios, rastreamento de embarcações em alto-mar, entrega de suprimentos ou mercadorias, monitoramento geográfico, vigilância de tubulações, pesquisas meteorológicas, dentre outras. Se o UAV é equipado com um sensor, este veículo será capaz de operar a partir de uma certa distância do seu alvo. Outro exemplo ocorre quando o UAV necessita apenas “soltar” sua carga tão próximo quanto possível da localização do alvo, como em operações militares. Estes são exemplos de aplicações que podem ser modeladas como um CETSP.

A maioria dos trabalhos relacionados ao CETSP apresentam algoritmos capazes de fornecer soluções sub-ótimas em tempo computacional competitivo. Por outro lado, apenas uma abordagem exata pode ser encontrada na literatura até então. Recentemente, Behdani e Smith (2013) apresentaram uma abordagem exata baseada em dois esquemas de discretização. Em seu trabalho, os autores apresentam limites inferiores e superiores para a solução ótima do CETSP. Os experimentos são conduzidos em instancias com até 21 vértices.

Tabela 1.1: Algoritmos para o CETSP e problemas relacionados disponíveis na literatura

Autor	Ano	Abordagem
Dumitrescu e Mitchell	2003	Algoritmos aproximativos <i>constant-factor</i> e PTAS
Gulczynski et. al.	2006	Diversas Heurísticas
Dong et.al.	2007	Heurísticas baseadas em clusterização e na envoltória convexa
Yuan et. al.	2007	Heurísticas para Otimização Global
Shuttleworth et. al.	2008	Diversas Heurísticas
Mennell et. al.	2011	Heurística baseada em Zonas de Steiner
Behdani e Smith	2013	Discretização + Programação Inteira

De acordo com a Tabela 1.1, pode-se observar a carência de algoritmos exatos capazes de fornecer soluções ótimas para o CETSP. Estes trabalhos serão discutidos com mais detalhes na revisão da literatura. Devido à relevância e aplicabilidade deste problema em casos reais e a abordagem proposta para resolução, justifica-se a realização desta pesquisa.

1.3 OBJETIVOS

1.3.1 Objetivo Geral

Propor um algoritmo *branch-and-bound* combinatório para o Problema do Caixeiro Viajante Suficientemente Próximo.

1.3.2 Objetivos Específicos

- Realizar um levantamento da literatura sobre o CETSP.
- Implementar a formulação do sub-problema que será resolvido à cada nó durante a execução do *branch-and-bound*.
- Selecionar uma estratégia para construir uma relaxação inicial para o CETSP.
- Desenvolver um método para checagem da viabilidade das soluções geradas durante a execução do algoritmo.
- Definir uma ou mais regras de *branching* para o *branch-and-bound*.
- Selecionar uma estratégia de *branching* para o *branch-and-bound*.
- Testar e validar o algoritmo proposto em instâncias da literatura.
- Comparar os resultados obtidos com outros métodos disponíveis na literatura.

1.4 ESTRUTURA DO TRABALHO

O restante deste trabalho está organizado da seguinte maneira:

- No Capítulo 2 apresenta-se uma revisão da literatura envolvendo o CETSP e conceitos básicos envolvendo métodos *branch-and-bound* e SOCP
- No Capítulo 3 apresenta-se o algoritmo *branch-and-bound*.
- No Capítulo 4 apresenta-se os resultados dos experimentos computacionais realizados.
- No Capítulo 5 apresenta-se as conclusões e trabalhos futuros da pesquisa.

2 REVISÃO BIBLIOGRÁFICA E FUNDAMENTAÇÃO TEÓRICA

2.1 PROBLEMA DO CAIXEIRO VIAJANTE SUFICIENTEMENTE PRÓXIMO

2.1.1 Definição Formal

O CETSP pode ser formalmente descrito da seguinte maneira. Considere um conjunto de pontos $V = \{0, \dots, n\}$ no espaço bi-dimensional com coordenadas (\bar{x}_i, \bar{y}_i) , $i = 0, \dots, n$. Cada vértice i é envolto por um círculo D_i de raio r_i . Assume-se ainda que $(\bar{x}_i, \bar{y}_i) \neq (\bar{x}_j, \bar{y}_j)$, $\forall i, j \in V$, $i \neq j$, ou seja, não há sobreposição entre dois vértices distintos. O problema consiste em determinar o valor das coordenadas dos *hitting points* $(x_i, y_i) \in \mathbb{R}^2$, $i = 0, \dots, n$, também conhecidos por *representative points* (Mennell, 2009), e uma sequência $\mathcal{S} = \{k_0, k_1, \dots, k_n\}$ de tal forma que o *tour* sobre estas coordenadas forme um Ciclo Hamiltoniano de comprimento mínimo e $(x_i, y_i) \in \mathcal{D}_i$, $\forall i \in V$.

No exemplo da figura 2.1 o *tour* toca o círculo associado ao vértice 1 e 3 apenas uma vez, enquanto que no vértice 2 o *tour* "corta" o círculo associado a esse vértice infinitas vezes. Neste trabalho denota-se o vértice $i = 0$ como o depósito e assume-se que \mathcal{D}_0 é um círculo com $r_0 = 0$. Esta definição pode ser facilmente estendida para o caso tridimensional utilizando-se três coordenadas para representar os vértices, como $(\bar{x}_i, \bar{y}_i, \bar{z}_i)$, ao invés de duas. A Figura 2.2 ilustra uma solução viável para o CETSP.

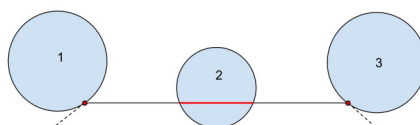


Figura 2.1: Ilustração do conceito de *hitting points*

Quando existe apenas um único *hitting point* associado a um vértice, então este ponto é denominado um *turn point*. Behdani e Smith (2013) demonstram que o número total de *turn points* em uma solução viável para o CETSP pode ser menor ou igual a n .

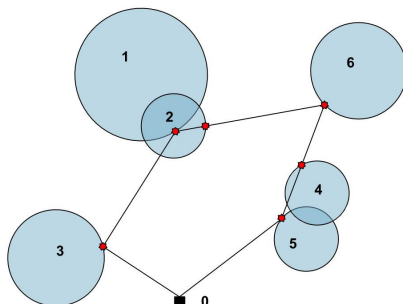


Figura 2.2: Ilustração de uma solução viável para o problema do caixeiro viajante suficientemente próximo

2.1.2 Trabalhos Relacionados

Com o objetivo de obter soluções aproximadas, diversas heurísticas foram desenvolvidas para o CETSP. Gulczynski et al (2006) and Dong et al (2007) propuseram diversos métodos heurísticos para o caso quando todos os discos possuem o mesmo raio. Ambos os métodos foram baseados no conceito de “super nós”. Um conjunto viável S de super nós é definido como um conjunto de pontos no \mathbb{R}^2 , incluindo o depósito, tal que cada vértice, $v_i \in V$, $i = 1, \dots, n$, está a pelo menos r unidades distante de qualquer ponto em S . As heurísticas foram desenvolvidas em três fases distintas: (i) geração do conjunto de super nós; (ii) construção de um *tour* sobre o conjunto de super nós; e por fim, movimentação dos super nós na tentativa de melhoria do *tour*. Embora estas heurísticas compartilhem a mesma estrutura, os procedimentos adotados em cada fase diferem uns dos outros nos dois trabalhos.

Yuan et al (2007) trata o Problema de Roteamento de Robôs (ORRP, do inglês *Optimal Robot Routing Problem*) como um TSPN no qual os conjuntos compactos que cobrem os vértices são considerados círculos disjuntos com um determinado raio. O ORRP consiste em determinar uma rota ótima para um robô móvel operando em uma rede de sensores sem fio de tal modo que este robô possa coletar dados de todos os sensores minimizando a distancia total percorrida. Portanto, este problema pode ser modelado como um CETSP

no qual os discos representando as áreas de ação de cada sensor são disjuntos. Os autores propuseram um algoritmo em duas fases para o TSPN, decompondo o problema original em um problema combinatório e um problema contínuo. O primeiro com o objetivo de determinar um *tour* ótimo sobre o conjunto de vértices original utilizando um algoritmo exato. Enquanto que o segundo problema consiste em encontrar as coordenadas dos *hitting points* que minimizam o comprimento do *tour* gerado pela primeira fase utilizando um algoritmo genético.

Baseado nos resultados preliminares de Mennell (2009), Mennell et al (2011) apresenta um heurística denominada *Steiner Zone Heuristic* baseada em três fases. A primeira fase é chamada Redução do Grafo, que o número total de vértices é reduzido a um número menor de Zonas de Steiner. Uma Zona de Steiner é definida como a interseção entre uma ou mais circunferências cujo grau é determinado pelo número de circunferências que se interceptam, a Figura 2.3 mostra um exemplo com 3 vértices, 3 Zonas de Steiner de grau 1, três de grau 2 e uma de grau 3. A segunda fase é chamada *Tour Finding*, onde um *tour* do TSP é construído sobre um conjunto de super nós selecionados arbitrariamente de cada Zona de Steiner. Na última fase, chamada *Tour Improvement*, métodos exatos e/ou heurísticos são aplicados no sentido de redução do comprimento do *tour*.

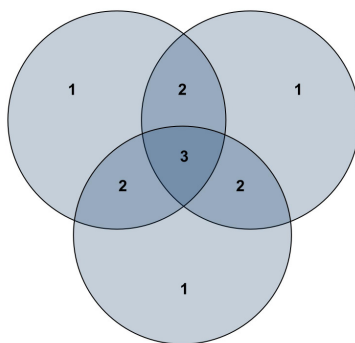


Figura 2.3: Todas as possíveis Zonas de Steiner para três vértices que se interceptam

Mennell (2009) apresenta uma formulação baseada em Programação Não-Linear Inteira Mista (MINLP, do inglês *Mixed Integer Nonlinear Programming*) para o CETSP. As variáveis de decisão são as coordenadas dos *hitting points* $(x_i, y_i) \in \mathbb{R}^2$ e as variáveis $e_{ij} \in \{0, 1\} \forall i, j = 0, \dots, n$, onde $e_{ij} = 1$ se o ponto i precede o ponto j na sequência e $e_{ij} = 0$ caso contrário. Os dados do problema são as posições dos vértices (\bar{x}_i, \bar{y}_i) , $i = 0, \dots, n$

e seus respectivos raios, denotados por $r_i, i = 0, \dots, n$, e um número muito pequeno, denotado por $\epsilon \in \mathbb{R}$, representando um limite inferior para o comprimento de cada distância entre dois *hitting points*.

No modelo representado pelas equações (2.1 - 2.8) a função objetivo minimiza o somatório das distâncias entre os pontos pertencentes ao ciclo. As restrições (2.2) garantem que todos os pontos sejam cobertos, as restrições (2.3) limitam o tamanho mínimo de cada aresta ao número ϵ , as restrições de grau (2.4 - 2.5) e de *subtour* (2.6) são as provenientes do TSP clássico, por fim as expressões (2.7) e (2.8) definem os *bounds* sobre as variáveis. O autor relata que as restrições (2.3) foram adicionadas ao modelo com o intuito de melhorar o desempenho computacional do *solver* de MINLP utilizado.

$$\min \sum_{i=0}^n \sum_{j=0}^n e_{ij} \sqrt{(x_i - x_j)^2 + (y_i - y_j)^2} \quad (2.1)$$

$$\text{s.a } (x_i - \bar{x}_i)^2 + (y_i - \bar{y}_i)^2 \leq r_i^2, \quad i = 1, \dots, n. \quad (2.2)$$

$$\sqrt{(x_i - x_j)^2 + (y_i - y_j)^2} \geq \epsilon \quad i, j = 0, \dots, n. \quad (2.3)$$

$$\sum_{i=0}^n e_{ij} = 1 \quad j = 0, \dots, n. \quad (2.4)$$

$$\sum_{j=0}^n e_{ij} = 1 \quad i = 0, \dots, n. \quad (2.5)$$

$$\sum_{i,j \in S'} e_{ij} \leq |S'| - 1 \quad \forall S' \subset \{0, \dots, n\}, 2 \leq |S'| \leq n. \quad (2.6)$$

$$e_{ij} \in \{0, 1\} \quad i, j = 0, \dots, n. \quad (2.7)$$

$$(x_i, y_i) \text{ livres } \quad i, j = 0, \dots, n. \quad (2.8)$$

Apesar da existência de métodos na literatura e também *solvers* disponíveis para resolver problemas de programação inteira não linear, tentar resolver este modelo pode tornar-se impraticável, para instâncias não triviais, do ponto de vista computacional.

Behdani e Smith (2013) propuseram dois diferentes esquemas de discretização para aproximar as regiões de cobertura contínuas. A primeira foi denominada *Grid-based Partitioning* (GP) e aproxima regiões de cobertura de forma arbitrária por retângulos. A segunda foi denominada *Arc-based Partitioning* (AP), útil apenas para regiões circulares,

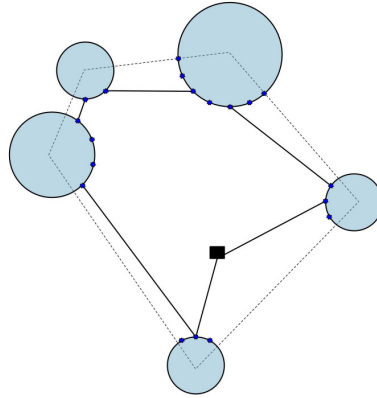


Figura 2.5: Ilustração do AP e uma solução viável para essa relaxação

Definição 2.1.2. Duas células C_i e C_j são denominadas regularmente localizadas se ambas condições valem:

- (i) $a_i + w_{1i} \leq a_j$ ou (ii) $a_i \geq a_j + w_{1j}$;
- (iii) $b_i + w_{2i} \leq b_j$ ou (iv) $b_i \geq b_j + w_{2j}$;

A Figura 2.6 mostra um exemplo de como a posição entre duas células distintas definem se elas são regularmente localizadas. Neste caso, uma célula j não obedeceria a Definição 2.1.2 se esta estiver localizada nas regiões I ou II (hachuradas). Se $a_i + w_{1i} < a_j$ ou $a_i < a_j + w_{1j}$ então $l_{ij} = \max\{b_i - b_j - w_{2j}, b_j - b_i - w_{2i}\}$. Ou se $b_i + w_{2i} > b_j$ ou $b_i < b_j + w_{2j}$ então $l_{ij} = \max\{a_i - a_j - w_{1j}, a_j - a_i - w_{1i}\}$.

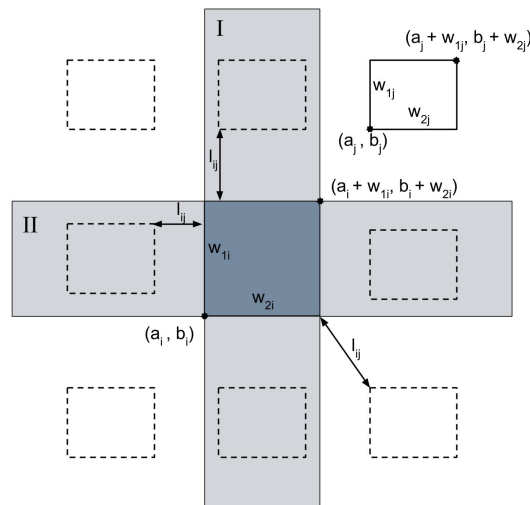


Figura 2.6: Ilustração mostrando as possíveis posições entre duas células no caso do GP

Por outro lado, se duas células C_i e C_j obedecem a Definição 2.1.2, pode-se mostrar que a distancia entre estas duas células é dada pelo comprimento do menor segmento de linha que liga dois vértices distintos pertencentes a elas. No caso do AP, esta distância pode ser previamente calculada como a menor distância entre dois vértices $l_{ij} = c_{ij}^{\min} = \|(\bar{x}_j, \bar{y}_j) - (\bar{x}_i, \bar{y}_i)\| - (r_j + r_i)$, onde $i, j \in V$, e armazenada em uma matriz bidimensional.

Apresenta-se aqui um modelo baseado em MIP proposto por Behdani e Smith (2013) que fornece um *lower bound* para uma solução ótima do CETSP (Equações (2.9 - 2.15)). Considere $C = \{C_0, \dots, C_p\}$ uma partição do plano bidimensional para o CETSP e $C^{\min} = \{l_{ij}\}$. O conjunto $N(v) = \{1 \leq i \leq p | C_i \cap S_v \neq \emptyset\}$. As variáveis de decisão são $x_{ij} \in \{0, 1\}$, que é igual 1 se C_i precede C_j no *tour* e y_i que indica se C_i é visitado ou não.

$$\min \sum_{i=0}^p \sum_{j=0}^p l_{ij} x_{ij} \quad (2.9)$$

$$\text{s.a.} \quad \sum_{j=0}^p x_{ij} = \sum_{j=0}^p x_{ji}, \quad i = 0, \dots, p. \quad (2.10)$$

$$y_i = \sum_{j=0}^p x_{ij}, \quad i = 0, \dots, p. \quad (2.11)$$

$$\sum_{i \in N(v)} y_i \geq 1, \quad \forall v \in V \quad (2.12)$$

$$\sum_{i \in S'} \sum_{j \notin S'} x_{ij} \geq y_u, \quad \forall S' \subset \{1, \dots, p\} | 2 \leq |S'| \leq |C| - 2 \text{ e } u \in S' \quad (2.13)$$

$$x_{ij} \in \{0, 1\} \forall i, j = 0, \dots, p. \quad (2.14)$$

$$0 \leq y_i \leq 1, \forall i = 1, \dots, p, y_0 = 1. \quad (2.15)$$

Neste modelo, a função objetivo linear (2.9) minimiza a distância total percorrida no *tour*. As restrições (2.10) obrigam que o número total de arestas entrando em uma célula restrições seja igual ao número total de arestas que saem dessa célula. As restrições (2.11) fazem o *link* entre as variáveis de decisão do modelo. As restrições (2.12) garantem que todos os vértices serão atendidos. As restrições (2.13) são restrições tradicionais de *subtour*. Por fim, as restrições (2.14) e (2.15) definem os *bounds* sobre as variáveis.

Além deste os autores também desenvolveram outros dois modelos, bem mais complexos, também baseados em MIP e uma Decomposição de Benders. Como resultado

Behdani e Smith (2013) conseguiram fornecer *lower bounds* e *upper bounds* para instâncias com no máximo 21 vértices. A principal característica dessas abordagens é que quanto maior o tamanho do conjunto C melhor a qualidade dos *bounds* e conseqüentemente as soluções aproximam-se mais da solução ótima para o CETSP. Por outro lado, altos níveis de particionamento tornam o método computacionalmente proibitivo.

Recentemente Hà et al (2013) estudou uma variante para o CETSP chamada Problema de Roteamento de Arcos Suficientemente Próximo (CEARP, do inglês Close Enough Arc Routing Problem). No CEARP considera-se um grafo direcionado predefinido $G = (V, A)$, onde $V = \{v_0, v_1, \dots, v_{n-1}\}$ é o conjunto de vértices e $A = \{(v_i, v_j) \mid v_i, v_j \in V\}$ o conjunto de arcos que conectam estes vértices, e outro conjunto de vértices no \mathbb{R}^2 , representando os clientes que devem ser cobertos denotado por $W = \{w_1, w_2, \dots, w_l\}$. O CEARP consiste em encontrar um ciclo Hamiltoniano de custo mínimo sobre o grafo G tal que todos os clientes em W sejam cobertos, ou seja, estejam a uma certa distância de qualquer arco pertencente ao ciclo. Este problema se encaixa perfeitamente no contexto de AMR, e foi originalmente chamado *CETSP over a street network* por Shuttleworth et al (2008), uma vez que em sua abordagem os arcos do grafo representaram o conjunto de ruas.

2.2 CONCEITOS BÁSICOS SOBRE ALGORITMOS *BRANCH-AND-BOUND*

Os algoritmos *branch-and-bound* têm sua origem no trabalho de Land e Doig (1960) que propuseram um algoritmo para resolver problemas de programação inteira. Já o termo *branch-and-bound* foi introduzido por Little et al (1963), quando em seu trabalho os autores apresentaram um algoritmo para o TSP capaz de resolver instâncias com até 40 vértices.

As definições a seguir podem ser encontradas em Wolsey (1998). Um algoritmo *branch-and-bound* nada mais é do que uma enumeração implícita de todas as possíveis soluções para um problema de natureza combinatória. O uso de *bounds* para a função a ser otimizada combinado com o valor da melhor solução corrente é o que permite ao algoritmo apenas analisar algumas partes do espaço de soluções.

Genericamente um algoritmo *branch-and-bound* funciona a partir da subdivisão do

espaço de busca do problema original em subproblemas (“nós”), o *status* de uma solução corrente em relação ao espaço de soluções é descrito por um *pool* de soluções ainda não exploradas (“nós abertos”) e a solução incumbente, que é a melhor solução encontrada até então. Inicialmente, assumindo-se o caso de minimização, existe apenas um subconjunto de soluções, que é o espaço inteiro, e a melhor solução até então tem custo igual a ∞ . Os nós são gerados dinamicamente durante a execução do algoritmo. Uma iteração do algoritmo tem, de modo geral, três fases: Seleção do nó à explorar, cálculo dos *bounds*, e o *branching*.

A árvore é desenvolvida dinamicamente durante a busca e consiste inicialmente do “nó raiz”. Deve-se destacar a importância de uma boa solução inicial viável, muitas vezes produzida por uma heurística, para inicializar o custo da melhor solução até então. A cada iteração do algoritmo, um nó é escolhido do *pool* de nós abertos, segundo uma estratégia de *branching* pré-estabelecida. A busca em largura (BFS - *Breadth-first Search*) pesquisa os nós na ordem em que foram criados, ou seja, realiza a busca nível após nível na árvore. A busca em profundidade (DFS - *Depth-first Search*) pesquisa os nós mais profundos primeiro. Por fim, a busca pelo melhor *bound* (BeFS - *Best-first Search*) pesquisa os nós na ordem do menor *bound* existente.

Se o algoritmo for “ansioso” (do inglês - *Eager branch-and-bound*), então um *branching* (ramificação do nó) é realizado no nó corrente. O *branching* consiste em criar dois ou mais nós filhos através da adição de restrições ao subproblema do nó pai, dessa forma o subespaço de soluções é dividido em subespaços menores. Um *lower bound* é então calculado para cada filho através da solução de seus respectivos subproblemas. Caso esta solução seja viável seu valor é comparado com o valor da solução incumbente. Se ele exceder o valor da solução incumbente o nó é descartado (“podado”), uma vez que nenhuma solução viável pode ser melhor que a incumbente. Se a solução é inviável e seu valor é menor do que o valor da solução incumbente então o nó filho correspondente é adicionado ao *pool* de nós abertos.

Se a estratégia de seleção “preguiçosa” é utilizada (do inglês - *Lazy branch-and-bound*) então a ordem entre calcular os *bounds* e fazer o *branching* se altera.

2.3 PROGRAMAÇÃO CÔNICA DE SEGUNDA ORDEM

2.3.1 Forma Geral

Os conceitos aqui apresentados foram baseados nos trabalhos de Lobo et al (1998) e Alizadeh e Goldfarb (2003) e serão úteis para o entendimento do método de resolução do subproblema associado ao algoritmo *branch-and-bound* proposto neste trabalho. O subproblema consiste em determinar a solução ótima do CETSP dada uma sequência parcial formada apenas por um subconjunto de vértices da instância original.

Em um SOCP na forma primal padrão uma função linear é minimizada, sujeita à restrições formadas pelo produto cartesiano de cones de segunda ordem. Tal problema pode ser definido pelas equações (2.16 - 2.18):

$$\min \mathbf{f}^\top \mathbf{x} \quad (2.16)$$

$$\text{s.a. } \|A_i \mathbf{x} + \mathbf{b}_i\| \leq \mathbf{c}_i^\top \mathbf{x} + d_i, \quad i = 1, \dots, m \quad (2.17)$$

$$F\mathbf{x} = \mathbf{g} \quad (2.18)$$

Em que $\mathbf{x} \in \mathbb{R}^n$ é a variável de decisão e os parâmetros do problema são $\mathbf{f} \in \mathbb{R}^n$, $A_i \in \mathbb{R}^{n_i \times n}$, $\mathbf{b}_i \in \mathbb{R}^{n_i}$, $\mathbf{c}_i \in \mathbb{R}^n$, $d_i \in \mathbb{R}$, $F \in \mathbb{R}^{p \times n}$ e $\mathbf{g} \in \mathbb{R}^p$. A restrição (2.17) é chamada de restrição cônica de segunda ordem, uma vez que é requerido que o par $(A_i \mathbf{x} + \mathbf{b}_i; \mathbf{c}_i^\top \mathbf{x} + d_i)$ pertença ao cone de segunda ordem de dimensão $n_i + 1$, $i = 1, \dots, m$.

Uma vez que a função objetivo (2.16) é linear e as restrições (2.17) e (2.18) são convexas então todo SOCP é convexo.

Restrições cônicas de segunda ordem podem ser usadas para representar várias outras restrições de classe convexa em diversos problemas de otimização. Por exemplo, quando $A_i = 0$, para todo $i = 1, \dots, m$, o SOCP é reduzido a um problema de programação linear da forma (2.19-2.21), em que $\alpha_i \in \mathbb{R}$ tal que $\alpha_i = \|\mathbf{b}_i\| - d_i$:

$$\min \mathbf{f}^\top \mathbf{x} \quad (2.19)$$

$$\text{s.a. } \mathbf{c}_i^\top \mathbf{x} \geq \alpha_i \quad i = 1, \dots, m \quad (2.20)$$

$$F\mathbf{x} = \mathbf{g} \quad (2.21)$$

Outro caso especial ocorre quando $\mathbf{c}_i = 0 \forall i = 1, \dots, m$, na equação (2.17), neste caso a i -ésima restrição cônica de segunda ordem se reduz à $\|A_i \mathbf{x} + \mathbf{b}_i\| \leq d_i$ que é equivalente à uma restrição quadrática.

O dual do problema definido por (2.16 - 2.18) pode ser escrito como nas equações (2.22 - 2.24):

$$\max \sum_{i=1}^m (\mathbf{b}_i^\top \mathbf{u}_i - d_i v_i) \quad (2.22)$$

$$\text{s.a.} \sum_{i=1}^m (A_i^\top \mathbf{u}_i - \mathbf{c}_i v_i) + \mathbf{f} = 0 \quad (2.23)$$

$$v_i \geq \|\mathbf{u}_i\|, \quad i = 1, \dots, m. \quad (2.24)$$

Onde as variáveis de decisão são $\mathbf{u}_i \in \mathbb{R}^{n_i}$ e $v_i \in \mathbb{R}, i = 1, \dots, m$, e os dados do problema são $\mathbf{f} \in \mathbb{R}^n, A_i \in \mathbb{R}^{n_i \times n}, \mathbf{b}_i \in \mathbb{R}^{n_i}$ e $d_i \in \mathbb{R}, i = 1, \dots, m$. Observa-se que as restrições cônicas (2.24) trazem implicitamente a definição do cone dual \mathcal{Q}_n^* associado às restrições cônicas (2.17).

Problemas quadráticos de otimização podem ser transformados em problemas cônicos de maneira direta. Os trabalhos de Alizadeh e Goldfarb (2003) e Lobo et al (1998) apresentam a transformação de problemas quadráticos sob restrições lineares. Exemplos de outras classes de problemas que também podem ser reformulados podem ser encontrados em Alizadeh e Goldfarb (2003), Boyd e Vandenberghe (2004) e Alzalg (2012).

2.3.2 Reformulação de problemas quadráticos sob restrições quadráticas

De uma maneira geral Problemas de Otimização Quadrática Sob Restrições Quadráticas (QCQP, do inglês *Quadratically Constrained Quadratic Programming*) podem ser resolvidos como SOCPs. Basta notar que um QCQP pode ser expresso como a minimização de uma função linear sob restrições quadráticas como nas equações (2.25 - 2.26):

$$\min \quad \mathbf{c}^\top \mathbf{x} \quad (2.25)$$

$$\text{s.a.} \quad q_i(\mathbf{x}) \stackrel{def}{=} \mathbf{x}^\top B_i^\top B_i \mathbf{x} + \mathbf{a}_i^\top \mathbf{x} + \beta_i \leq 0, \quad \forall i = 1, \dots, m. \quad (2.26)$$

Em que $\mathbf{x} \in \mathbb{R}^n$ é a variável de decisão e os parâmetros do problema são $\mathbf{c} \in \mathbb{R}^n, B_i \in$

$\mathbb{R}^{n \times n}$ tal que $B_i \succeq 0$, $\mathbf{a}_i \in \mathbb{R}^n$, $\mathbf{c}_i \in \mathbb{R}^n$, $d_i \in \mathbb{R}$, $F \in \mathbb{R}^{p \times n}$ e $\mathbf{g} \in \mathbb{R}^p$.

Desta forma, o modelo pode ser expresso pelo SOCP descrito pelas equações (2.27 - 2.30):

$$\min \quad \mathbf{c}^\top \mathbf{x} \quad (2.27)$$

$$\text{s.a} \quad \|\bar{\mathbf{u}}_i\| \leq u_{0i}, \quad \forall i = 1, \dots, m \quad (2.28)$$

$$\bar{\mathbf{u}}_i = \left(B_i \mathbf{x}; \frac{\mathbf{a}_i^\top \mathbf{x} + \beta_i + 1}{2} \right), \quad \forall i = 1, \dots, m \quad (2.29)$$

$$u_{0i} = \frac{1 - \mathbf{a}_i^\top \mathbf{x} - \beta_i}{2}, \quad \forall i = 1, \dots, m \quad (2.30)$$

Uma verificação simples dessa reformulação pode ser realizada da seguinte maneira:

$$\|\bar{\mathbf{u}}\| \leq u_0 \iff (2.31)$$

$$\left(B\mathbf{x}; \frac{\mathbf{a}^\top \mathbf{x} + \beta + 1}{2} \right)^\top \left(B\mathbf{x}; \frac{\mathbf{a}^\top \mathbf{x} + \beta + 1}{2} \right) \leq \left(\frac{1 - \mathbf{a}^\top \mathbf{x} - \beta}{2} \right)^2 \iff (2.32)$$

$$\mathbf{x}^\top B^\top B\mathbf{x} + \left(\frac{\mathbf{a}^\top \mathbf{x} + \beta + 1}{2} \right)^2 \leq \left(\frac{1 - \mathbf{a}^\top \mathbf{x} - \beta}{2} \right)^2 \iff (2.33)$$

$$\mathbf{x}^\top B^\top B\mathbf{x} + \left(\frac{(\mathbf{a}^\top \mathbf{x} + \beta + 1)^2 + (1 - \mathbf{a}^\top \mathbf{x} - \beta)^2}{4} \right) \leq 0 \iff (2.34)$$

$$\mathbf{x}^\top B^\top B\mathbf{x} + \frac{4\mathbf{a}^\top \mathbf{x} + 4\beta}{4} \leq 0 \iff (2.35)$$

$$\mathbf{x}^\top B^\top B\mathbf{x} + \mathbf{a}^\top \mathbf{x} + \beta \leq 0 \quad (2.36)$$

3 UM ALGORITMO *BRANCH-AND-BOUND* PARA O CETSP

3.1 DESCRIÇÃO DO MÉTODO

A ideia geral do método é dividir o problema original de determinar uma sequência $\mathcal{S} = \{k_0, k_1, \dots, k_n\}$ e o valor das coordenadas $(x_i, y_i) \in \mathbb{R}^2, i = 0, \dots, n$, em dois subproblemas tratados de maneira diferente. O problema principal para o *branch-and-bound* será o de determinar uma sequência ótima para um subconjunto de vértices da instância original, este problema é claramente combinatório. O subproblema resolvido a cada nó da árvore será o de determinar o valor das coordenadas dos *hitting points*, este por sua vez é um problema contínuo.

De modo geral o método foi desenvolvido da seguinte maneira. Cada nó da árvore estará associado a um *tour* parcial ótimo que visita apenas um subconjunto de vértices em uma dada sequência. No nó raiz, o algoritmo escolhe três vértices para gerar uma sequência inicial (Seção §3.3). Uma vez que existem apenas três vértices envolvidos e os custos são simétricos, a ordem desta sequência não irá afetar o custo da solução do nó raiz. Portanto, este *tour* parcial é uma relaxação válida do problema original. O problema de encontrar o valor das coordenadas dos *hitting points*, dada uma predeterminada ordem, pode ser formulado como um SOCP (Seção §3.2). Se a solução associada ao nó raiz for viável, ou seja, todos os vértices forem cobertos, então esta solução será ótima e o problema estará resolvido. Caso contrário, o algoritmo realiza o *branching* em três subproblemas, onde em cada um deles, um vértice que não pertence ao *tour* é inserido em diferentes posições (Seção §3.5). Um determinado nó da árvore é podado se o valor de seu *lower bound* for

maior ou igual ao melhor *upper bound* ou se sua solução for viável. Caso contrário, o algoritmo realiza o *branching* sobre este nó, utilizando a mesma lógica aplicada ao nó raiz.

A figura 3.1 mostra uma ilustração do método para uma instância com 7 vértices. O conjunto de vértices não cobertos é representado por uma lista ao lado de seus respectivos nós, os números marcados em vermelho representam os vértices escolhidos para formar a próxima subsequência. Neste caso, a relaxação encontrada no nó raiz foi $0 \rightarrow 3 \rightarrow 6 \rightarrow 0$. No próximo passo, o vértice 1 foi selecionado para ser inserido em cada posição possível na sequência do nó pai, resultando em três nós filho. Quando o vértice 1 é inserido na primeira ou segunda posição do *tour*, pode-se verificar que o nó 4 é coberto, no entanto o mesmo não acontece quando 1 é inserido na terceira posição. Este exemplo particular, mostra uma possível árvore associada a essa instância com 7 vértices. Podas são desconsideradas para simplificar o exemplo. Como indicado na Figura 3.1, a solução ótima é $0 \rightarrow 3 \rightarrow 1 \rightarrow 6 \rightarrow 5 \rightarrow 0$.

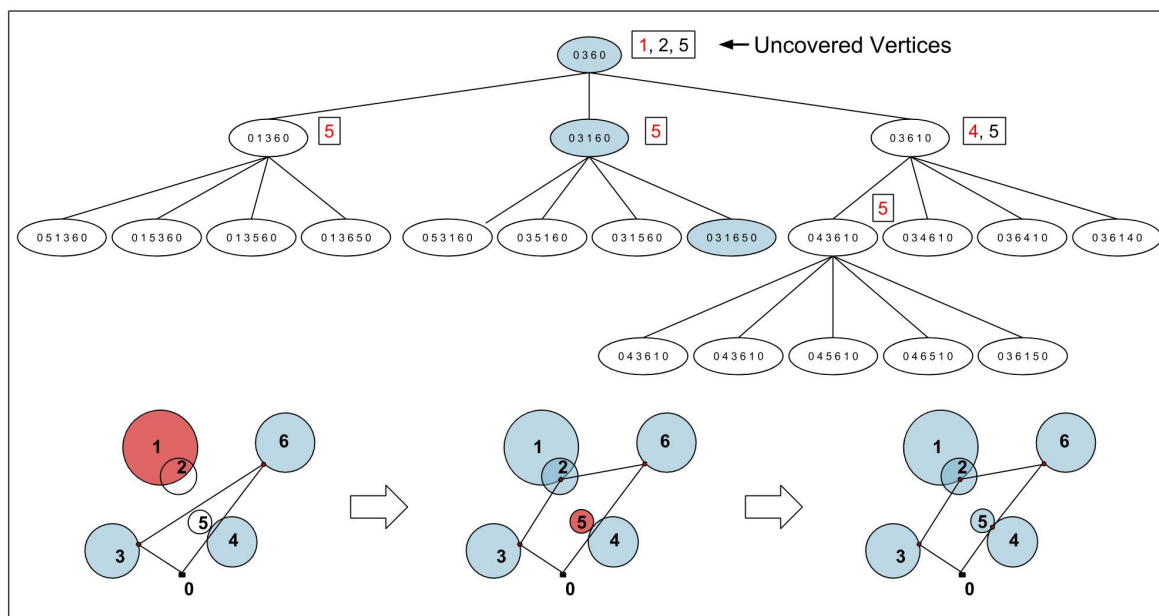


Figura 3.1: Exemplo do algoritmo proposto para uma instância com 7 vértices

O número máximo de nós em um dado nível da árvore é dado por $\frac{(l+2)!}{2}$. No pior caso, o número total de nós corresponde a $\sum_{l=0}^n \frac{(l+2)!}{2} = \mathcal{O}(n+2)!$.

3.2 SUBPROBLEMA CÔNICO DE SEGUNDA ORDEM

Tome $\mathcal{S} = \{k_0, k_1, \dots, k_q\}$, $q < n$, como qualquer subsequência encontrada durante a execução do algoritmo. Os subproblemas do *branch-and-bound* consistem em encontrar os valores das coordenadas dos *hitting points*, $(x_{k_j}, y_{k_j}), i \in \mathcal{S}, j = 0, \dots, q$, de modo que o comprimento deste *tour* parcial seja minimizado. Os dados do problema são r_k e $(\bar{x}_k, \bar{y}_k), k \in \mathcal{S}$, que são os valores dos raios e as coordenadas de cada vértice pertencente a sequência parcial \mathcal{S} :

$$\min \sum_{j=1}^n \left(\sqrt{(x_{k_{j-1}} - x_{k_j})^2 + (y_{k_{j-1}} - y_{k_j})^2} \right) \quad (3.1)$$

$$+ \sqrt{(x_{k_q} - x_{k_0})^2 + (y_{k_q} - y_{k_0})^2}$$

$$\text{s.a } (x_j - \bar{x}_j)^2 + (y_j - \bar{y}_j)^2 \leq r_j^2, \quad j = 1, \dots, q. \quad (3.2)$$

$$(x_{k_j}, y_{k_j}), k \in \mathcal{S}, j = 1, \dots, q, \text{ livres} \quad (3.3)$$

Neste modelo, a função objetivo (3.1) minimiza a distância total percorrida. As restrições (3.2) não permitem que os raios dos vértices $j = 1, \dots, q$, sejam violados e por fim, as restrições (3.3) definem os *bounds* sobre as variáveis.

Como visto na Seção §2.3, este subproblema pode ser convertido em um SOCP utilizando o mesmo raciocínio. O SOCP definido pelas Equações (3.4 - 3.12) segue a formulação apresentada por Mennell (2009). Logo, assumindo que $i_{-1} = i_q$:

$$\min \sum_{k=0}^q z_k \quad (3.4)$$

$$\text{s.t. } w_k = x_{i_{k-1}} - x_{i_k}, \quad k = 0, \dots, q. \quad (3.5)$$

$$u_k = y_{i_{k-1}} - y_{i_k}, \quad k = 0, \dots, q. \quad (3.6)$$

$$s_k = \bar{x}_k - x_k, \quad k = 0, \dots, q. \quad (3.7)$$

$$t_k = \bar{y}_k - y_k, \quad k = 0, \dots, q. \quad (3.8)$$

$$z_k^2 \geq w_k^2 + u_k^2, \quad k = 0, \dots, q. \quad (3.9)$$

$$s_k^2 + t_k^2 \leq r_k^2, \quad k = 0, \dots, q. \quad (3.10)$$

$$z_k \geq 0; w_k, u_k, s_k, t_k \text{ livres} \quad k = 0, \dots, q. \quad (3.11)$$

$$x_i, y_i \text{ livres} \quad i = 0, \dots, q. \quad (3.12)$$

Nesta formulação a função objetivo (3.4) é linear. As variáveis $z_k, k = 0, \dots, q$, representam a distância entre vértices subsequentes na sequência parcial \mathcal{S} . As restrições cônicas (3.9) definem o comprimento da aresta que conecta vértices subsequentes da sequência \mathcal{S} . As restrições cônicas (3.10) garantem que cada *hitting point* não ultrapassará a borda da circunferência que cobre seu respectivo vértice. As variáveis auxiliares w, u, s e t são definidas nas restrições lineares (3.5-3.10). As expressões (3.11) e (3.12) definem os limites nas variáveis.

Sabe-se que SOCPs podem ser resolvidos em tempo polinomial (Andersen et al, 2003). Além do mais, alguns conhecidos softwares de otimização como CPLEX, GUROBI e MOSEK são agora capazes de resolver esta importante classe de problemas.

Deve-se destacar que este modelo pode ser facilmente adaptado para subsequências geradas para cada nó da árvore de *branch-and-bound* apenas adicionando-se elementos ao conjunto \mathcal{S} . Por exemplo, se a sequência parcial do nó raiz é $\mathcal{S}_{root} = \{0, 5, 8\}$ e o próximo vértice a ser adicionado na sequência é o vértice 6 então as próximas subsequências geradas serão $\mathcal{S}_{child1} = \{0, 6, 5, 8\}$, $\mathcal{S}_{child2} = \{0, 5, 6, 8\}$ e $\mathcal{S}_{child3} = \{0, 5, 8, 6\}$.

3.3 RELAXAÇÃO DA RAIZ

Os três vértices que formam a sequência do nó raiz são selecionados da seguinte maneira. O primeiro vértice é o nó $i_0 = 0$, ou seja, o depósito, cujo raio é igual a zero. O próximo vértice a ser escolhido é o mais distante do depósito. O terceiro vértice a ser inserido é o que produz o maior *lower bound* no valor da solução do nó raiz. Mais especificamente, o algoritmo resolve um SOCP para cada candidato restante e seleciona o vértice associado à sequência que produz a melhor relaxação.

A figura 3.2 ilustra um exemplo envolvendo 7 vértices. Pode-se observar que o

depósito é o primeiro vértice selecionado, seguido pelo vértice 6 e depois o vértice 3, cujo critério de inserção é o descrito logo acima.

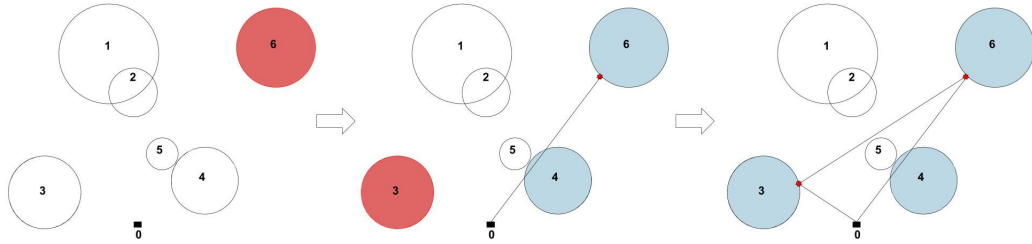


Figura 3.2: Ilustração do procedimento para encontrar uma relaxação válida na raiz

3.4 CHECAGEM DA VIABILIDADE

Assumindo-se \hat{V} como um conjunto de vértices não cobertos por uma sequência parcial durante a execução do algoritmo e sendo \hat{d}_i a distância entre um vértice $i \in \hat{V}$ e a aresta desta sequência parcial mais próxima de i . Suponha que c e $\overline{p_1 p_2}$ são um vértice e uma aresta de uma solução parcial nestas condições. Deseja-se determinar as coordenadas de um ponto $p \in \overline{p_1 p_2}$ que minimiza a distância entre $\overline{p_1 p_2}$ e c .

Lema 3.4.1. *A distância mínima \hat{d} entre c e $\overline{p_1 p_2}$ pode ser calculada pela resolução do problema de otimização definido pela Equação (3.13):*

$$\hat{d} = \min_{0 \leq \theta \leq 1} \|(1 - \theta)p_1 + \theta p_2 - c\| \quad (3.13)$$

Cuja solução analítica do problema irrestrito é dada por $\theta = -\frac{(p_2 - p_1)^\top (p_1 - c)}{\|p_2 - p_1\|^2}$. Portanto a distância mínima pode ser calculada pela Equação (3.14):

$$\hat{d} = \begin{cases} \|p_1 - c\|, & \text{if } \theta = 0 \\ \|p - c\|, & \text{if } 0 < \theta < 1, \text{ where } p = (1 - \theta)p_1 + \theta p_2 \\ \|p_2 - c\|, & \text{if } \theta = 1 \end{cases} \quad (3.14)$$

Para checar a viabilidade de uma solução parcial, deve-se calcular o valor de \hat{d} para cada vértice não coberto e para cada aresta existentes nesta solução. Se o número de vértices não cobertos é dado por u e o número de arestas é dado por v então esta

verificação toma $\mathcal{O}(uv)$ operações. Deve-se destacar que esta abordagem permite o cálculo para instâncias tanto no \mathbb{R}^2 quanto no \mathbb{R}^3 .

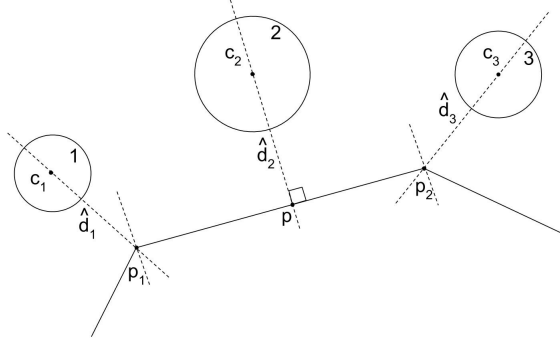


Figura 3.3: Ilustração envolvendo três vértices e uma aresta em uma solução parcial para o CETSP

A figura 3.3 mostra uma ilustração para um caso com três vértices e uma aresta. Para o vértice 1, $\theta = 0$, logo a distância mínima entre c e $\overline{p_1p_2}$ é igual a distância entre c e p_1 . Para o vértice 2, $0 < \theta < 1$, logo a distância mínima entre c e $\overline{p_1p_2}$ é igual a distância entre c e p . Finalmente, para o vértice 3, θ é igual a 1, logo a distância mínima entre c e $\overline{p_1p_2}$ é igual a distância entre c e p_2 .

3.5 REGRAS DE BRANCHING

Primeiramente o algoritmo realiza uma verificação na instância:

Se todos os vértices possuem o mesmo raio: O algoritmo calcula o valor de \hat{d}_k para todo $k \in \hat{V}$. Depois, o máximo valor entre todos os \hat{d}_k é determinado, ou seja, calcula-se $\max_{k \in \hat{V}} \{\hat{d}_k\}$, então o vértice k correspondente é selecionado para ser inserido na solução parcial do nó filho. A Figura 3.4 ilustra um exemplo de como a seleção dos vértices ocorre. Neste caso, dada uma solução parcial $0 \rightarrow 3 \rightarrow 5 \rightarrow 0$. Nota-se que o vértice 4 está coberto, no entanto, os vértices 1, 2 não estão. Portanto $\hat{V} = \{1, 2\}$. Pode-se observar que $\hat{d}_1 > \hat{d}_2$. Dessa forma, o vértice 1 é o vértice associado à $\max_{k \in \hat{V}} \{\hat{d}_k\}$.

Se os vértices possuem diferentes raios: O algoritmo calcula o valor de γ_k para todo $k \in \hat{V}$. O escalar γ_k é definido como uma estimativa do acréscimo do *lower bound* se o vértice k fosse inserido entre seus dois vizinhos mais próximos pertencentes à sequência.

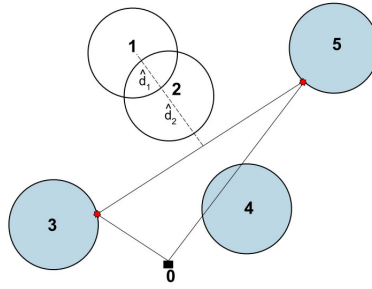


Figura 3.4: Ilustração da primeira regra de *branching*

Para computar γ_k primeiro calcula-se o valor das coordenadas do ponto \tilde{p}_k na borda de D_k que minimiza a distância entre este ponto e sua aresta mais próxima $\overline{p_i p_j}$ na sequência. Então γ_k pode ser calculado como $\gamma_k = \tilde{e}_i^k + \tilde{e}_j^k - e_{ij}$, onde \tilde{e}_i^k é a distância entre \tilde{p}_k e p_i , \tilde{e}_j^k é a distância entre \tilde{p}_k e p_j e por fim, e_{ij} é o comprimento da aresta $\overline{p_i p_j}$. A figura 3.5 mostra um exemplo deste procedimento, sendo $\hat{V} = \{1, 2\}$. Portanto $\gamma_1 = \tilde{e}_1^1 + \tilde{e}_2^1 - e_{34}$ e $\gamma_2 = \tilde{e}_1^2 + \tilde{e}_2^2 - e_{40}$. Suponha que $\gamma_2 > \gamma_1$, como sugere a figura, portanto, segundo esta regra de *branching*, o vértice 2 será próximo a compor a sequência.

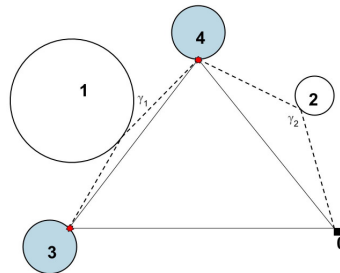


Figura 3.5: Ilustração da segunda regra de *branching*

4 RESULTADOS

4.1 EXPERIMENTOS COMPUTACIONAIS

O algoritmo *branch-and-bound* foi implementado em linguagem C++, os testes foram realizados em um computador Intel Core i7, com 3.40 GHz e 16 GB de RAM no sistema operacional Linux Mint 13. Para resolver os subproblemas Cônicos de Segunda Ordem foi utilizado o *solver* CPLEX (2013), versão 12.4, com o modo paralelo desativado e utilizando apenas uma única *thread*. As ilustrações das soluções geradas para as instâncias 3D foram geradas utilizando a rotina *BUBBLEPLOT3* (Bodin, 2009) implementada em MATLAB. Foi estipulado um tempo máximo de 4 horas para a execução do algoritmo em cada instância.

O desempenho do algoritmo foi testado em 824 instâncias fornecidas nos trabalhos de Mennell (2009) e Behdani e Smith (2013). A dificuldade de cada instância foi mensurada a partir da definição de *overlap* dada por Mennell (2009). O *overlap* é definido como a razão entre a média dos raios de todos os vértices e o maior lado (l_{max}) do retângulo que envolve todos os vértices e seus raios, ou seja, $overlap = \frac{(\sum_{i=0}^n r_i)/n}{l_{max}}$.

Mennell (2009) apresenta a seguinte classificação para suas instâncias: Seis problemas cujos nomes começam por *team* mais a instância *bonus1000* foram denominadas **Team Problems**. Os problemas cujos nomes começam por *rotatingDiamonds*, *bubbles*, *concentricCircles* mais a instância *chaoSigleDep* foram englobadas no subconjunto denominado **Geometric Problems**. As instâncias *d493*, *dsj1000*, *kroD100*, *lin318*, *pcb442*, *rat195* e *rd400* foram criadas a partir da TSPLIB e foram chamadas **TSPLIB Problems**.

As instâncias dos grupos *Team Problems* e *Geometric Problems* foram geradas com $r_i = r, i = 0, \dots, n$ possuem taxas de *overlap* variadas cujos valores não foram especificados. As instâncias do grupo *TSPLIB Problems* geradas com três tamanhos de raio diferentes, portanto com três taxas de *overlap* diferentes, a saber 0.02, 0.1 e 0.3. Apenas as instâncias dos grupos *Team Problems* e *TSPLIB Problems* possuem versões em 3D. Mennell (2009) disponibilizou também dois conjuntos de instâncias denominados *Team Random Radius Problems* e *TSPLIB Random Radius Problems*, com versões em 2D e 3D, cujos raios de cada vértice foram gerados aleatoriamente de modo que $r_i \neq r_j \forall i, j \in V$.

Behdani e Smith (2013) disponibilizaram 240 problemas bidimensionais com 7, 9, 11, 13, 15, 17, 19 e 21 vértices. Estas instâncias foram geradas de acordo com o seguinte procedimento. A posição $(\bar{x}_i, \bar{y}_i), i \in V$ de cada vértice e do depósito i_0 foram escolhidas aleatoriamente em um espaço limitado de 16 unidades de comprimento e 10 unidades de largura. Nestas instâncias, a área cobertura de todos os foi definida como uma circunferência de raio r . Em seus experimentos os autores utilizaram três tamanhos de raio diferentes, a saber 0.25, 0.5 e 1.0, obtendo três grupos distintos com *overlaps* 0.015, 0.03 e 0.06 respectivamente.

4.2 SELEÇÃO DA ESTRATÉGIA DE *BRANCHING*

Com o intuito de selecionar a melhor estratégia de *branching* para o algoritmo proposto, foram testadas três alternativas conhecidas na literatura: DFS, BFS e BeFS. Para testar o desempenho de cada estratégia considerou-se as chamadas *Geometric Instances*, com 20 instâncias bidimensionais, fornecidas por Mennell (2009). Para estes testes preliminares um tempo limite de 2 horas foi estipulado para a execução em cada instância.

A Tabela 4.1 mostra um resumo dos resultados encontrados para cada estratégia de *branching*. Nesta tabela a coluna **#Opt** representa o número de ótimos encontrados pelo algoritmo utilizando cada estratégia. A coluna **LB.*** representa a média aritmética dos *lower bounds* encontrados nas instâncias onde não encontrou-se uma solução ótima. A coluna **Tam. Árvore** representa a média do tamanho da árvore para todas as instâncias.

A coluna **Gap***(%) representa o *gap* médio em relação ao melhor *upper bound* conhecido para as instâncias onde o algoritmo não foi capaz de encontrar uma solução ótima. Por fim, a coluna **CPU T(s)**** representa o tempo médio pra encontrar a solução ótima nas instâncias onde o algoritmo foi capaz de fazê-lo.

Pode-se observar que a estratégia BeFS obteve os melhores resultados dentro do tempo limite estabelecido. Portanto, esta estratégia foi adotada nos demais experimentos apresentados neste trabalho.

Tabela 4.1: Resultados do experimento para escolha da estratégia de *branching*

Estratégia	#Opt.	LB*	Tam. Árvore	Gap* (%)	CPU T** (s)
BeFS	6	746.016	523529	22.627	188.36
BFS	6	652.148	1100302	31.716	1222.62
DFS	6	428.432	668770	56.311	242.97

4.3 RESULTADOS OBTIDOS NAS INSTÂNCIAS DE Behdani e Smith (2013)

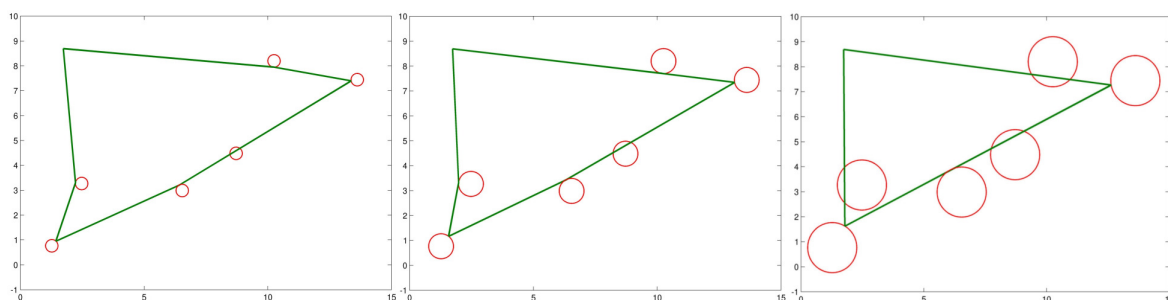
A Tabela 4.2 mostra um resumo dos resultados encontrados para as instâncias de Behdani e Smith (2013). Nesta tabela a coluna **Grupo** apresenta os 8 grupos de instâncias divididos em três subgrupos diferentes (*overlap* = 0.015, 0.03, 0.06). A coluna **Tamanho** mostra a quantidade de instâncias em cada grupo. A coluna **#Opt.** mostra o número de ótimos encontrados em cada grupo. A coluna **Arv.** mostra a média do tamanho da árvore na execução do *branch-and-bound* para todas as instâncias. Por fim, a coluna **CPU T(s)** mostra a média dos tempos de execução.

A Figura 4.1 mostra uma ilustração das soluções encontradas para a instância CETSP-6-19. Nesta figura, pode-se verificar que o aumento dos raios dos vértices torna os problemas mais fáceis de resolver para o algoritmo *branch-and-bound*. A Tabela 4.2 corrobora esta afirmação visto que a medida que o *overlap* aumenta diminuem a média dos tamanhos da árvore e a média dos tempos de execução.

Nos testes realizados observou-se que o algoritmo *branch-and-bound* é até centenas de vezes mais rápido computacionalmente do que o algoritmo proposto por Behdani e Smith (2013) nas maiores instâncias. Além do mais, todas as instâncias foram resolvidas

Tabela 4.2: Resumo dos resultados para as instâncias de Behdani e Smith

Grupo	Tamanho	#Opt.	Árv.	CPU T(s)
$r = 0.25$ e $overlap = 0.0156$				
CETSP-06	30	30	26	0.029
CETSP-08	30	30	51	0.062
CETSP-10	30	30	86	0.107
CETSP-12	30	30	139	0.189
CETSP-14	30	30	219	0.308
CETSP-16	30	30	443	0.673
CETSP-18	30	30	544	0.839
CETSP-20	30	30	1016	1.656
$r = 0.50$ e $overlap = 0.0313$				
CETSP-06	30	30	19	0.020
CETSP-08	30	30	39	0.047
CETSP-10	30	30	66	0.085
CETSP-12	30	30	92	0.125
CETSP-14	30	30	144	0.204
CETSP-16	30	30	222	0.334
CETSP-18	30	30	331	0.525
CETSP-20	30	30	437	0.719
$r = 1.0$ e $overlap = 0.0625$				
CETSP-06	30	30	13	0.017
CETSP-08	30	30	23	0.030
CETSP-10	30	30	38	0.049
CETSP-12	30	30	51	0.066
CETSP-14	30	30	71	0.100
CETSP-16	30	30	95	0.144
CETSP-18	30	30	117	0.176
CETSP-20	30	30	163	0.261

Figura 4.1: Resultado para a instância CETSP-6-19, $r = 0.25, 0.50$ e 1.0 , respectivamente.

na otimalidade pelo *branch-and-bound*. Logo não realizou-se uma comparação direta com os resultados encontrados por Behdani e Smith (2013).

Os resultados completos obtidos pelo algoritmo *branch-and-bound* para as instâncias propostas por Behdani e Smith (2013) podem ser encontrados no Apêndice A.

4.4 RESULTADOS OBTIDOS NAS INSTÂNCIAS 2D DE Mennell (2009)

Os resultados encontrados para as instâncias 2D de Mennell (2009) podem ser encontrados na Tabela 4.3. Nesta tabela a primeira coluna mostra o nome de cada instância. A

coluna $|V|$ mostra o tamanho das instâncias. Os *upper bounds* e *lower bounds* encontrados no trabalho de Mennell (2009) podem ser visualizados nas 3ª e 4ª colunas. A coluna **Opt.** mostra o custo das soluções ótimas encontradas pelo algoritmo proposto. Quando o algoritmo não foi capaz de encontrar uma solução ótima para uma determinada instância, a respectiva linha é preenchida com “-”. A sexta coluna mostra os *lower bounds* encontrados em cada instância. A coluna **Árv.** mostra o tamanho da árvore para cada instância. A coluna **Gap (%)** mostra o valor do *gap* entre o *lower bound* encontrado e o melhor *upper bound* disponível ou o custo de uma solução ótima, ou seja, $gap = (UB - LB)/UB$, $UB = \min\{\mathbf{UB}; \mathbf{Opt.}\}$.

Pode-se observar que o algoritmo *branch-and-bound* foi capaz de encontrar soluções ótimas para 22 de 62 instâncias bidimensionais disponíveis. As instâncias para as quais a solução encontrada supera o valor do melhor *upper bound* conhecido apresentam o valor da respectiva linha em **Opt.** destacado em negrito. Verifica-se ainda que todos os *lower bounds* encontrados pelo algoritmo *branch-and-bound* superaram os *lower bounds* encontrados na literatura.

Percebe-se que a medida que o valor do *overlap* aumenta o algoritmo torna-se mais capaz de encontrar soluções ótimas em tempos computacionais competitivos.

A Figura 4.2 mostra uma comparação entre a solução obtida pela heurística proposta por Mennell (2009) e a solução encontrada pelo algoritmo proposto neste trabalho. O método *branch-and-bound* explora a propriedade relacionada ao número de *turn points*, ou seja, para um determinado número n de vértices que devem ser atendidos, o número de vértices necessários para formar uma solução ótima q é tal que $q \leq n$. As Figuras (4.4 - 4.9) mostram as soluções encontradas para algumas instâncias.

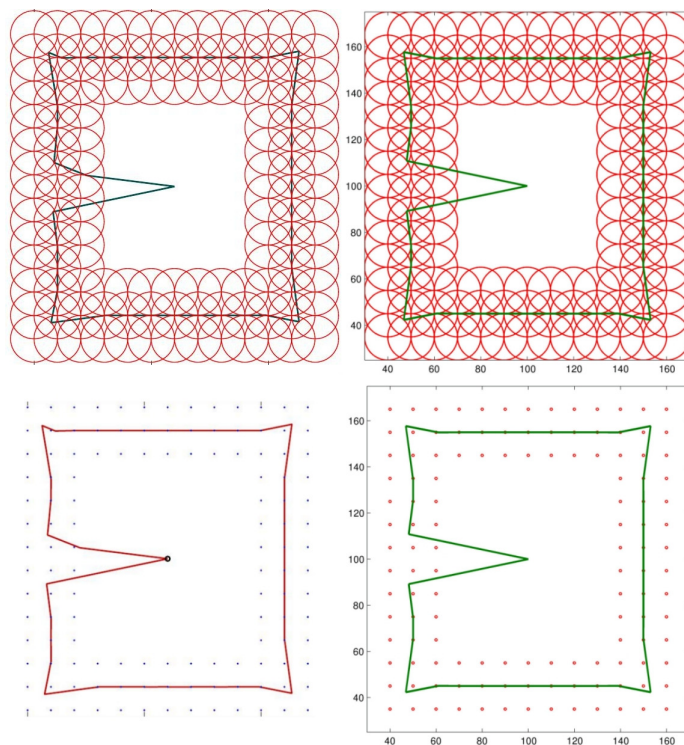


Figura 4.2: *bubbles3*: À esquerda a solução encontrada por Mennell (2009), custo = 530.733. À direita a solução do *branch-and-bound*, custo = 529.955.

4.5 RESULTADOS OBTIDOS NAS INSTÂNCIAS 3D DE Mennell (2009)

A Tabela 4.4 apresenta os resultados obtidos para as instâncias 3D de Mennell (2009). Nesta tabela, o significado das colunas permanece o mesmo já explicado na seção anterior. Pode-se observar que o algoritmo *branch-and-bound* foi capaz de encontrar soluções ótimas para 10 de 42 instâncias tridimensionais disponíveis. As instâncias para as quais a solução encontrada supera o valor do melhor *upper bound* conhecido apresentam o valor da respectiva linha em **Opt.** destacado em **negrito**. Pode-se verificar ainda que todos os *lower bounds* encontrados pelo algoritmo *branch-and-bound* superaram os *lower bounds* encontrados na literatura.

A Figura 4.3 mostra uma comparação entre a solução obtida pela heurística proposta por Mennell (2009) e a solução encontrada pelo algoritmo proposto neste trabalho. As Figuras (4.10 - 4.15) mostram as soluções encontradas para algumas instâncias.

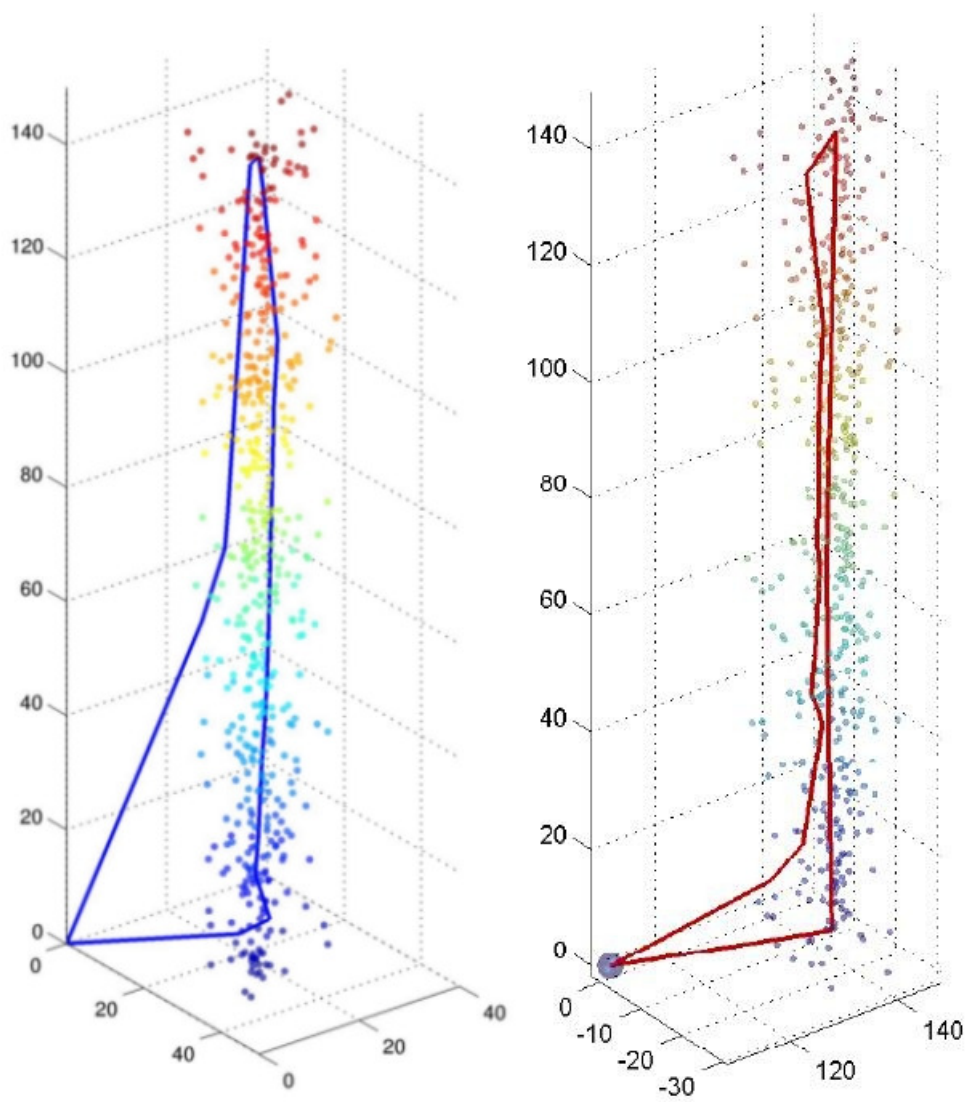


Figura 4.3: *d493*: À esquerda a solução do *branch-and-bound*, custo = 325.207; À direita a solução encontrada por Mennell (2009), custo = 335.592

Tabela 4.3: Resultados para instâncias 2D de Mennell

Instância	V	Mennell (2009)		Branch-and-Bound				
		UB	LB	Opt.	LB	Árv.	Gap (%)	CPU T(s)
<i>Overlap: 0.02</i>								
d493	493	202.793	57.460	-	146.331	859216	27.842	14400.17
dsj1000	1000	935.743	100.190	-	559.114	585631	40.249	14400.24
kroD100	100	159.046	78.830	-	142.872	1784161	10.169	14400.16
lin318	318	2863.366	977.430	-	1990.902	933499	30.470	14400.08
pcb442	442	323.034	32.510	-	185.847	842855	42.468	14400.03
rat195	195	158.785	28.200	-	108.104	1108939	31.918	14400.04
rd400	400	1033.414	284.030	-	567.190	891890	45.115	14400.27
<i>Overlap: 0.1</i>								
d493	493	101.735	31.730	100.721	100.721	8343	0.000	53.28
dsj1000	1000	376.099	10.170	-	373.730	718104	0.630	14400.51
kroD100	100	89.668	0.000	89.668	89.668	798	0.000	1.86
lin318	318	1408.482	0.000	1394.626	1394.626	1118666	0.000	8541.19
pcb442	442	147.244	1.870	-	137.448	1383948	6.653	14400.09
rat195	195	68.083	0.000	67.991	67.991	4735	0.000	17.32
rd400	400	466.102	0.000	-	432.798	1436555	7.145	14400.03
<i>Overlap: 0.3</i>								
d493	493	69.758	16.750	69.758	69.758	3	0.000	0.32
dsj1000	1000	199.948	0.000	199.948	199.948	17	0.000	0.75
kroD100	100	58.541	0.000	58.541	58.541	3	0.000	0.07
lin318	318	765.964	0.000	765.964	765.964	7	0.000	0.24
pcb442	442	83.537	0.000	83.537	83.537	3	0.000	0.31
rat195	195	45.702	0.000	45.702	45.702	3	0.000	0.13
rd400	400	224.839	0.000	224.839	224.839	24	0.000	0.33
<i>Varias taxas de overlap</i>								
bonus1000	1001	402.470	0.000	-	359.383	949465	10.706	14400.02
bubbles1	37	349.135	60.620	349.135	349.135	66	0.000	0.10
bubbles2	77	428.279	60.620	428.279	428.279	121	0.000	0.22
bubbles3	127	530.733	60.620	529.955	529.955	31995	0.000	193.12
bubbles4	185	829.888	60.620	-	690.578	1502931	16.787	14400.01
bubbles5	251	1062.335	60.620	-	851.822	1181671	19.816	14400.28
bubbles6	325	1383.139	60.620	-	993.981	1025324	28.136	14400.15
bubbles7	407	1720.214	60.620	-	1123.522	918674	34.687	14400.19
bubbles8	497	2101.373	60.620	-	1252.715	894857	40.386	14400.28
bubbles9	595	2426.274	60.620	-	1374.407	765301	43.353	14400.33
chaoSingleDep	201	1039.610	439.260	-	1000.151	1760829	3.796	14400.09
concentricCircles1	17	53.158	14.000	53.158	53.158	2943	0.000	5.18
concentricCircles2	37	153.132	43.590	-	149.868	2699245	2.131	14400.03
concentricCircles3	61	271.076	115.280	-	247.624	2093145	8.651	14400.18
concentricCircles4	105	454.457	161.110	-	358.887	1320268	21.030	14400.06
concentricCircles5	149	645.381	249.980	-	459.411	1112726	28.815	14400.16
rotatingDiamonds1	21	32.389	6.200	32.389	32.389	59	0.000	0.09
rotatingDiamonds2	61	140.477	13.870	140.477	140.477	274967	0.000	730.37
rotatingDiamonds3	181	380.882	27.870	-	348.608	1612881	8.474	14400.07
rotatingDiamonds4	321	770.660	35.570	-	593.350	969457	23.008	14400.03
rotatingDiamonds5	681	1510.752	69.570	-	1106.577	777682	26.753	14400.23
team1_100	101	307.337	33.520	307.337	307.337	2805	0.000	9.61
team2_200	201	246.683	0.000	246.683	246.683	187	0.000	0.72
team3_300	301	466.241	8.750	-	447.534	1713428	4.012	14400.03
team4_400	401	680.211	20.590	-	507.302	938101	25.420	14400.10
team5_499	500	702.823	231.210	-	524.589	833603	25.360	14400.05
team6_500	501	225.216	0.000	225.216	225.216	24	0.000	0.43
<i>Raios Arbitrários</i>								
bonus1000rdmRad	1001	987.114	-	-	506.131	656095	48.726	14400.22
d493rdmRad	493	140.120	-	-	125.312	1195835	10.568	14400.14
dsj1000rdmRad	1000	653.128	-	-	509.740	798273	21.954	14400.30
kroD100rdmRad	100	141.835	-	-	136.620	2293903	3.677	14400.12
lin318rdmRad	318	2080.574	-	-	1807.681	1349251	13.116	14400.00
pcb442rdmRad	442	235.188	-	-	175.834	966808	25.237	14400.23
rat195rdmRad	195	68.224	-	68.224	68.224	1628	0.000	5.16
rd400rdmRad	400	1252.380	-	-	571.482	776842	54.368	14400.29
team1_100rdmRad	101	388.537	-	388.537	388.537	86565	0.000	269.31
team2_200rdmRad	201	622.738	-	-	488.182	1098493	21.607	14400.12
team3_300rdmRad	301	381.828	-	378.087	378.087	132111	0.000	682.39
team4_400rdmRad	401	1011.772	-	-	549.907	870580	45.649	14400.32
team5_499rdmRad	500	454.327	-	-	442.637	1145471	2.573	14400.36
team6_500rdmRad	501	666.149	-	-	489.612	939270	26.501	14400.08

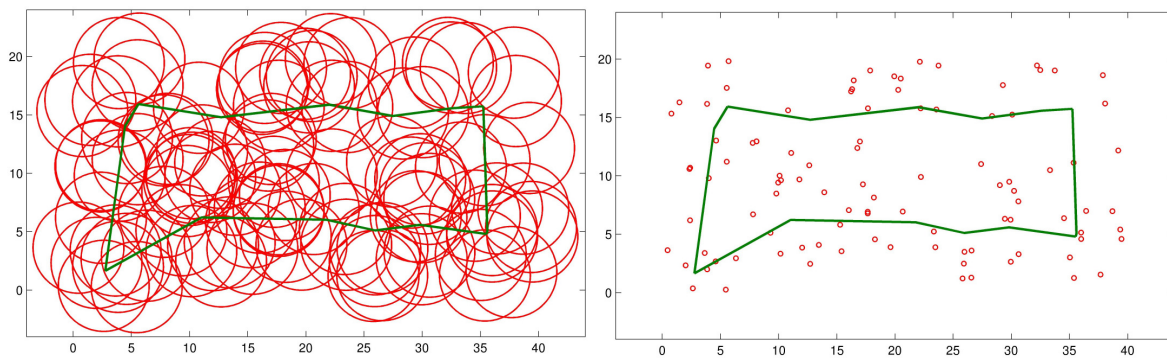


Figura 4.4: Solução para *kroD100*, Raios iguais, 2D, $|V| = 100$, Custo = 89.668

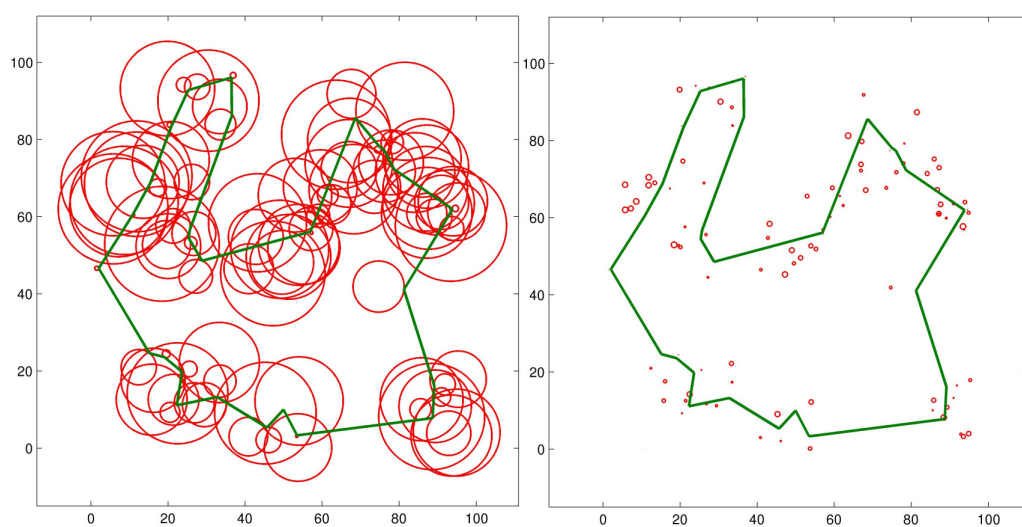


Figura 4.5: Solução para *team1_100rdmRad*, Raios Arbitrários, 2D, $|V| = 101$, Custo = 388.537

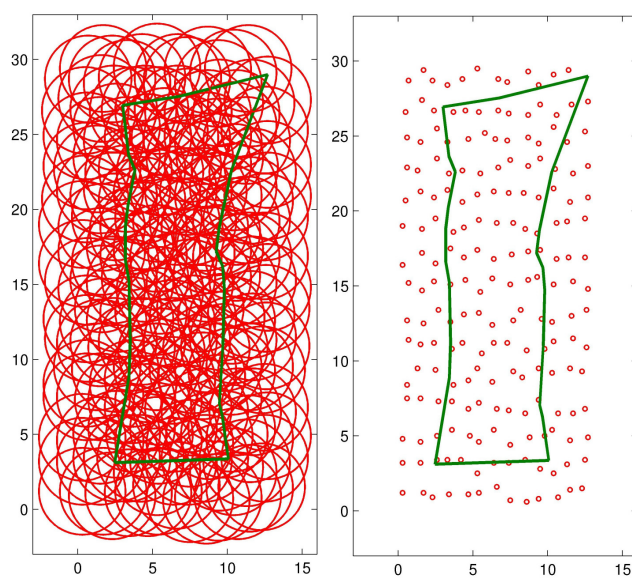


Figura 4.6: Solução para *rat195*, Raios Iguais, 2D, Tamanho = 195, Custo = 67.991

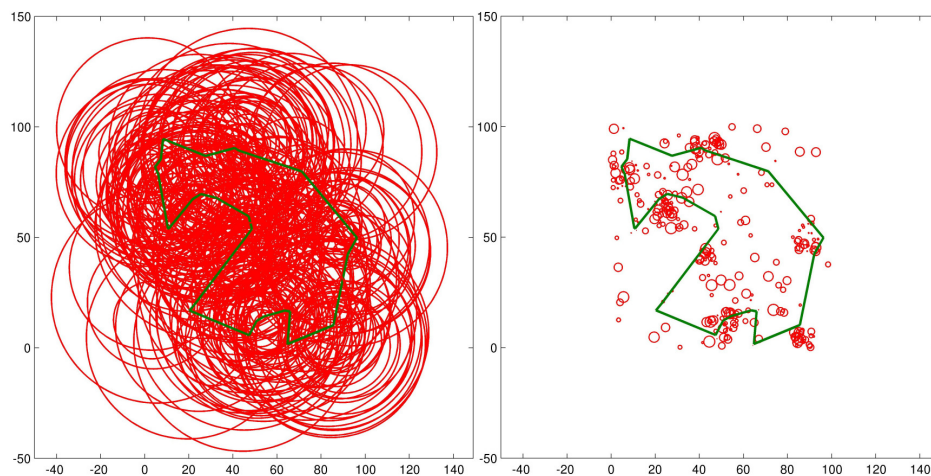


Figura 4.7: Solução para *team3_300rdmRad*, Raios Arbitrários, 2D, $|V| = 301$, Custo = 378.087

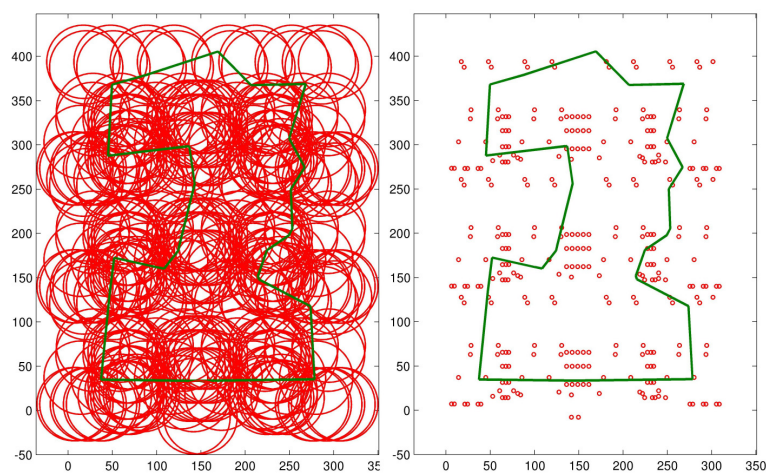


Figura 4.8: Solução para *lin318*, Raios Iguais, 2D, $|V| = 318$, Custo = 1394.626

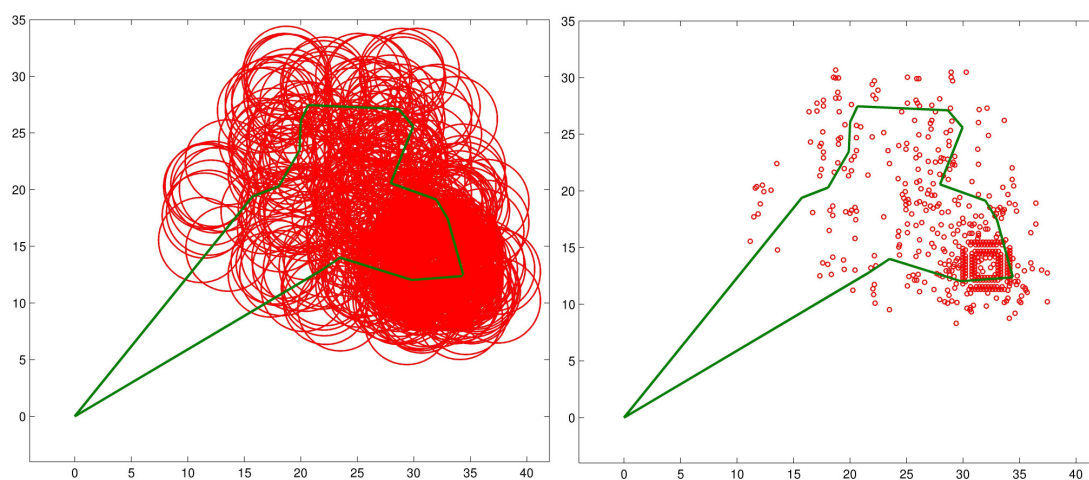


Figura 4.9: Solução para *d493*, Raios Iguais, 2D, $|V| = 493$, Custo = 100.721

Tabela 4.4: Resultados para instâncias 3D de Mennell

Instância	V	Mennell (2009)		Branch-and-Bound				
		UB	LB	Opt.	LB	Árv.	Gap (%)	CPU T(s)
Overlap ratio: 0.02								
d493	493	1353.137	-	-	469.783	642868	65.282	14400.01
dsj1000	1000	3147.865	-	-	751.510	494579	76.126	14400.05
kroD100	100	202.021	-	-	148.231	1183277	26.626	14400.12
lin318	318	3044.270	-	-	1994.372	934859	34.488	14400.14
pcb442	442	404.490	-	-	186.381	725462	53.922	14400.18
rat195	195	291.258	-	-	126.493	978598	56.570	14400.06
rd400	400	3218.198	-	-	868.188	753967	73.023	14400.12
Overlap ratio: 0.1								
d493	493	665.056	-	-	421.164	827584	36.672	14400.18
dsj1000	1000	1021.252	-	-	602.987	644546	40.956	14400.31
kroD100	100	91.669	-	91.663	91.663	2407	0.000	7.51
lin318	318	1443.427	-	-	1398.254	1588841	3.130	14400.12
pcb442	442	154.810	-	-	137.951	1209228	10.890	14400.13
rat195	195	112.405	-	-	88.721	1325338	21.070	14400.13
rd400	400	1552.723	-	-	752.423	851059	51.542	14400.24
Overlap ratio: 0.3								
d493	493	335.592	-	325.207	325.207	5064	0.000	31.11
dsj1000	1000	270.399	-	267.751	267.751	2472	0.000	25.07
kroD100	100	58.926	-	58.926	58.926	4	0.000	0.08
lin318	318	766.831	-	766.831	766.831	8	0.000	0.24
pcb442	442	83.722	-	83.722	83.722	4	0.000	0.33
rat195	195	47.889	-	47.889	47.889	4	0.000	0.14
rd400	400	539.954	-	-	450.720	507442	16.526	14400.40
Varied overlap ratios								
bonus1000	1001	941.348	-	-	472.559	655479	49.800	14400.35
team1_100	101	820.727	-	-	690.298	1197716	15.892	14400.22
team2_200	201	283.238	-	273.383	273.383	86492	0.000	557.94
team3_300	301	1484.411	-	-	762.683	930319	48.620	14400.12
team4_400	401	753.813	-	-	509.803	894994	32.370	14400.30
team5_499	500	1924.527	-	-	705.633	665171	63.335	14400.20
team6_500	501	236.964	-	230.923	230.923	73	0.000	0.67
Arbitrary Radius Problems								
bonus1000rdmRad	1001	2689.413	-	-	578.638	512678	78.485	14400.04
d493rdmRad	493	761.065	-	-	438.701	858509	42.357	14400.06
dsj1000rdmRad	1000	2074.844	-	-	696.289	656155	66.441	14400.05
kroD100rdmRad	100	171.568	-	-	137.765	1350550	19.702	14400.13
lin318rdmRad	318	2189.426	-	-	1806.783	1200921	17.477	14400.10
pcb442rdmRad	442	258.404	-	-	177.231	962861	31.413	14400.09
rat195rdmRad	195	84.470	-	82.105	82.105	152636	0.000	790.53
rd400rdmRad	400	3592.601	-	-	876.280	766218	75.609	14400.06
team1_100rdmRad	101	907.593	-	-	726.685	1137079	19.933	14400.26
team2_200rdmRad	201	1055.948	-	-	525.310	1027597	50.252	14400.20
team3_300rdmRad	301	1053.380	-	-	676.184	1004637	35.808	14400.10
team4_400rdmRad	401	1276.896	-	-	551.046	793139	56.845	14400.08
team5_499rdmRad	500	840.477	-	-	599.741	940015	28.643	14400.28
team6_500rdmRad	501	1076.352	-	-	507.122	870473	52.885	14400.12

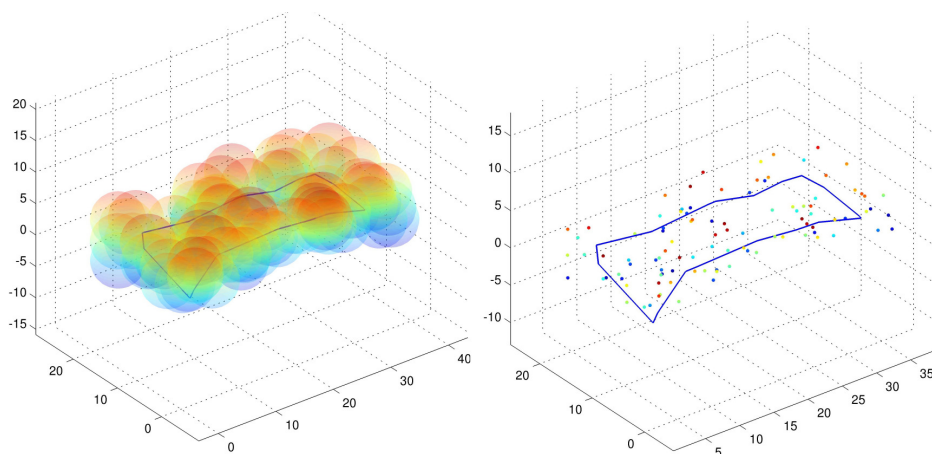


Figura 4.10: Solução para *kroD100*, Raios iguais, 3D, $|V| = 100$, Custo = 91.663

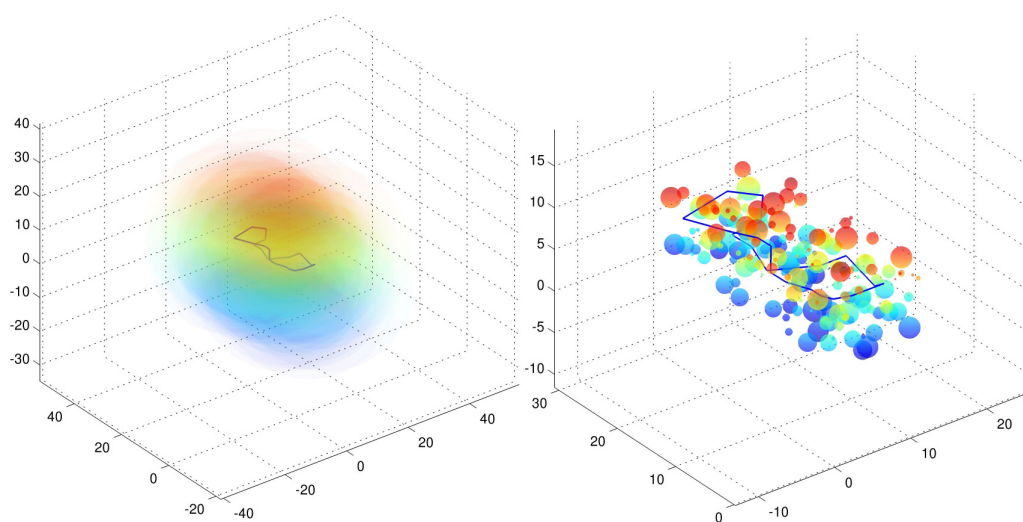


Figura 4.11: Solução para *rat195rdmRad*, Raios arbitrários, 3D, $|V| = 195$, Custo = 82.105

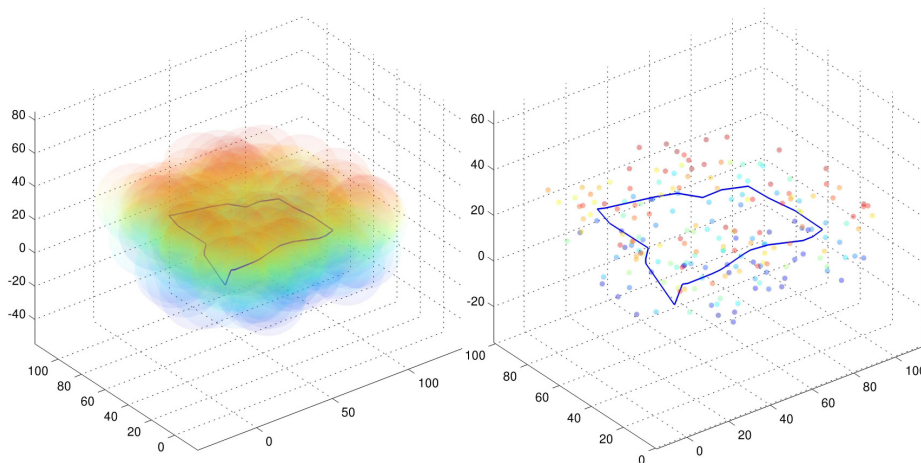


Figura 4.12: Solução para *team2_200*, Raios iguais, 3D, $|V| = 201$, Custo = 273.383

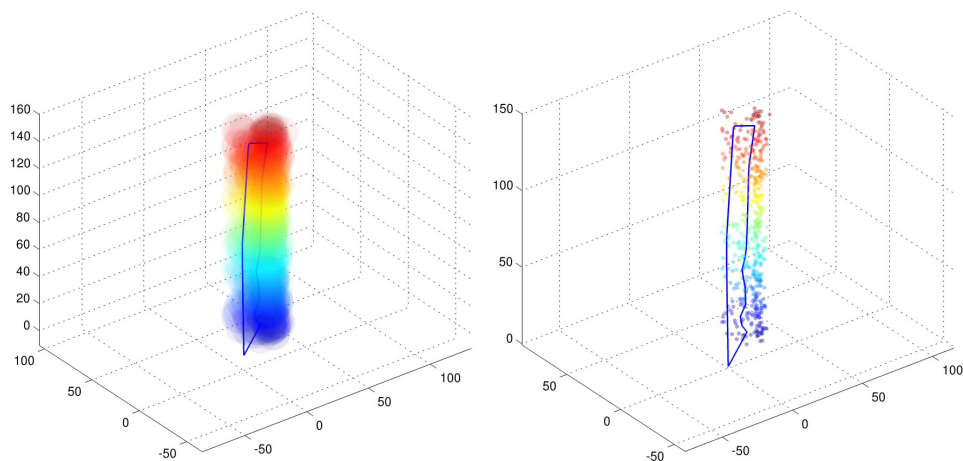


Figura 4.13: Solução para $d493$, Raios iguais, 3D, $|V| = 493$, Custo = 325.207

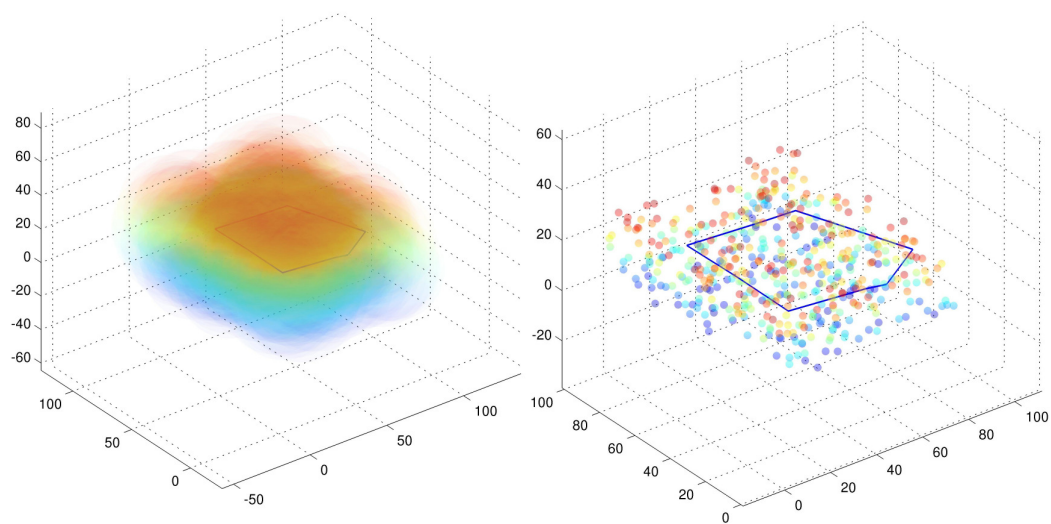


Figura 4.14: Solução para $team6_500$, Raios iguais, 3D, $|V| = 501$, Custo = 230.923

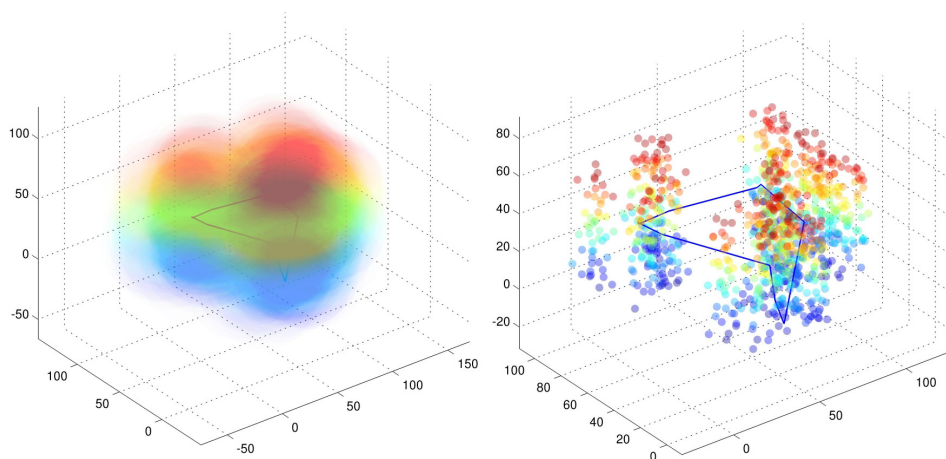


Figura 4.15: Solução para $dsj1000$, Raios iguais, 3D, $|V| = 1000$, Custo = 267.751

5 CONCLUSÃO E TRABALHOS FUTUROS

Este trabalho apresentou um algoritmo *branch-and-bound* para o CETSP, onde o subproblema resolvido em cada nó consiste em um SOCP. O algoritmo proposto foi testado em 824 instâncias disponíveis na literatura. Deste total, 720 instâncias bidimensionais foram propostas por Behdani e Smith (2013) e 62 instâncias bidimensionais e 42 tridimensionais foram propostas por Mennell (2009). O algoritmo foi capaz de encontrar no total a solução ótima para 752 instâncias. Todas as instâncias propostas por Behdani e Smith (2013) foram resolvidas na otimalidade. Das instâncias bidimensionais propostas por Mennell (2009) o algoritmo resolveu 22 na otimalidade e melhorou todos os *lower bounds* encontrados na literatura. No caso tridimensional 10 instâncias foram resolvidas e todos os *lower bounds* também foram melhorados.

No caso bidimensional o algoritmo foi capaz de encontrar bons *lower bounds* para as instâncias com uma taxa de *overlap* de 0,1. Bons *lower bounds* são importantes por exemplo, para a avaliação de heurísticas.

Por outro lado o método mostrou-se também bastante ineficiente nas instâncias que apresentavam uma baixa taxa de *overlap*. Este resultado contrasta com os resultados obtidos em Behdani e Smith (2013), uma vez que o método proposto pelos autores tem um melhor desempenho para instâncias pequenas e com baixas taxas de *overlap*.

No geral, pode-se observar que a performance do algoritmo torna-se bastante competitiva a medida que a taxa de *overlap* aumenta. Em termos práticos, esta relação está diretamente ligada ao avanço tecnológico. Por exemplo, melhores transmissores e receptores *wireless* tendem a aumentar o raio de ação (raio de cobertura) de equipamentos que

utilizam esta tecnologia, como no caso da AMR ou outras aplicações encontradas na literatura, ou seja a medida que a tecnologia avança os tamanhos dos raios de cada vértice tendem a aumentar.

Conforme o esperado, os *lower bounds* encontrados para as instâncias com baixo *overlap* não são satisfatórios. Neste sentido, como trabalhos futuros, pode-se desenvolver estratégias para melhorar a relaxação da raiz e os *lower bounds* encontrados durante a execução do algoritmo. Além destas abordagens focadas no método *branch-and-bound* outras abordagem podem também ser desenvolvidas, como algoritmos de planos de corte e baseados em programação inteira.

REFERÊNCIAS BIBLIOGRÁFICAS

ALIZADEH, F.; GOLDFARB, D. Second-order cone programming. *Mathematical Programming*, v. 95, p. 3–51, 2003.

ALZALG, B. M. Stochastic second-order cone programming: Applications models. *APPLIED MATHEMATICAL MODELLING*, v. 36, n. 10, p. 5122–5134. ISSN 0307-904X. doi: 10.1016/j.apm.2011.12.053, 2012.

ANDERSEN, E.; ROOS, C.; TERLAKY, T. On implementing a primal-dual interior-point method for conic quadratic optimization. *Mathematical Programming*, v. 95, n. 2, p. 249–277, 2003.

ARKIN, E.; HASSIN, R. Approximation Algorithms For The Geometric Covering Salesman Problem. *Discrete Applied Mathematics*, v. 55, n. 3, p. 197–218. ISSN 0166-218X, 1994.

BEHDANI, B.; SMITH, J. C. An Integer-Programming-Based Approach to the Close-Enough Traveling Salesman Problem. *INFORMS Journal On Computing*. Forthcoming, 2013.

BODIN, P. BUBBLEPLOT3: A simple 3D bubbleplot. <http://www.mathworks.com/matlabcentral/fileexchange/8231-bubbleplot3>, 2009.

BOYD, S.; VANDENBERGHE, L. *Convex Optimization*. Cambridge University Press, 2004.

CPLEX. IBM ILOG CPLEX. URL <http://www-01.ibm.com/software/commerce/optimization/cplex-optimizer>. 12.04, 2013.

- DONG, J.; YANG, N.; CHEN, M. Heuristic Approaches for a TSP Variant: The Automatic Meter Reading Shortest Tour Problem. *Extending the Horizons: Advances in Computing, Optimization, and Decision Technologies*, volume 37, p. 145–163. Springer US, 2007.
- GENDREAU, M.; LAPORTE, G.; SEMET, F. The Covering Tour Problem. *Operations Research*, v. 45, n. 4, p. 568–576, 1997.
- GULCZYNSKI, D.; HEATH, J.; PRICE, C. The Close Enough Traveling Salesman Problem: A Discussion of Several Heuristics. *Perspectives in Operations Research*, volume 36, p. 271–283. Springer US, 2006.
- HÀ, M. H.; BOSTEL, N.; LANGEVIN, A.; ROUSSEAU, L.-M. Solving the close-enough arc routing problem. *Networks*. ISSN 1097-0037. Forthcoming, 2013.
- LAND, A. H.; DOIG, A. G. An Automatic Method for Solving Discrete Programming Problems. JÜNGER, M.; LIEBLING, T. M.; NADDEF, D.; NEMHAUSER, G. L.; PULLEYBLANK, W. R.; REINELT, G.; RINALDI, G.; WOLSEY, L. A. (Eds.), *50 Years of Integer Programming 1958-2008*, p. 105–132. Springer Berlin Heidelberg, 1960.
- LITTLE, J. D. C.; MURTY, K. G.; SWEENEY, D. W.; KAREL, C. An Algorithm for the Traveling Salesman Problem. *Operations Research*, v. 11, n. 6, p. 972–989, 1963.
- LOBO, M.; VANDENBERGHE, L.; BOYD, S.; LEBRET, H. Applications of second-order cone programming. *Linear Algebra and Its Applications*, v. 284, n. 1-3, p. 193–228, 1998.
- MENNELL, W. *Heuristics for solving three routing problems: Close-Enough Traveling Salesman Problem, Close-Enough Vehicle Routing Problem, Sequence-Dependent Team Orienteering Problem*. PhD thesis, University of Maryland, College Park, 2009.
- MENNELL, W.; GOLDEN, B.; WASIL, E. A Steiner-Zone Heuristic for Solving the Close-Enough Traveling Salesman Problem. *Operations Research, Computing, and Homeland Defense*. 12th INFORMS Computing Society Conference (ICS2011), 2011.
- SHUTTLEWORTH, R.; GOLDEN, B.; SMITH, S.; WASIL, E. Advances in Meter Reading: Heuristic Solution of the Close Enough Traveling Salesman Problem over a

- Street Network. GOLDEN, B.; RAGHAVAN, S.; WASIL, E. (Eds.), *The Vehicle Routing Problem: Latest Advances and New Challenges*, volume 43 of *Operations Research/Computer Science Interfaces*, p. 487–501. Springer US, 2008.
- SILBERHOLZ, J.; GOLDEN, B. The Generalized Traveling Salesman Problem: A New Genetic Algorithm Approach. *Extending the Horizons: Advances in Computing, Optimization, and Decision Technologies*, volume 37 of *Operations Research/Computer Science Interfaces Series*, p. 165–181. Springer US, 2007.
- WOLSEY, L. A. *Integer Programming*. Wiley-Interscience, 1998.
- YUAN, B.; ORLOWSKA, M.; SADIQ, S. On the optimal robot routing problem in wireless sensor networks. *IEEE Transactions on Knowledge and Data Engineering*, v. 19, n. 9, p. 1252–1261. ISSN 1041-4347, 2007.

Apêndices

Apêndice A

Soluções ótimas para as instâncias propostas por Behdani e Smith (2013)

Tabela A.1: Resultados para as instâncias de Behdani $|V| = 7, 9, 11, 13$, $r = 0.25$

Instância	$ V $	Opt.	Arv.	CPU T(s)	Instância	$ V $	Opt.	Arv.	CPU T(s)
CETSP-6-0	7	28.051	33	0.04	CETSP-10-0	11	37.648	87	0.11
CETSP-6-1	7	33.862	33	0.04	CETSP-10-1	11	37.380	81	0.10
CETSP-6-2	7	27.641	21	0.02	CETSP-10-2	11	46.101	95	0.12
CETSP-6-3	7	25.392	33	0.03	CETSP-10-3	11	31.958	80	0.10
CETSP-6-4	7	36.758	21	0.02	CETSP-10-4	11	35.161	80	0.10
CETSP-6-5	7	22.151	16	0.02	CETSP-10-5	11	36.031	96	0.12
CETSP-6-6	7	27.903	27	0.03	CETSP-10-6	11	36.469	84	0.09
CETSP-6-7	7	34.763	16	0.02	CETSP-10-7	11	35.346	61	0.07
CETSP-6-8	7	24.165	33	0.04	CETSP-10-8	11	34.333	46	0.06
CETSP-6-9	7	28.473	27	0.03	CETSP-10-9	11	30.707	79	0.10
CETSP-6-10	7	34.718	21	0.02	CETSP-10-10	11	35.215	77	0.10
CETSP-6-11	7	31.599	27	0.03	CETSP-10-11	11	31.131	68	0.08
CETSP-6-12	7	33.352	33	0.04	CETSP-10-12	11	36.423	99	0.13
CETSP-6-13	7	26.710	21	0.02	CETSP-10-13	11	36.101	55	0.07
CETSP-6-14	7	28.679	33	0.04	CETSP-10-14	11	34.273	85	0.11
CETSP-6-15	7	34.118	16	0.02	CETSP-10-15	11	32.977	33	0.04
CETSP-6-16	7	23.635	33	0.03	CETSP-10-16	11	31.408	63	0.08
CETSP-6-17	7	22.834	16	0.02	CETSP-10-17	11	36.172	101	0.13
CETSP-6-18	7	28.359	21	0.03	CETSP-10-18	11	39.150	33	0.04
CETSP-6-19	7	33.198	21	0.02	CETSP-10-19	11	40.899	110	0.14
CETSP-6-20	7	34.851	32	0.04	CETSP-10-20	11	33.825	96	0.12
CETSP-6-21	7	32.084	33	0.04	CETSP-10-21	11	41.348	62	0.08
CETSP-6-22	7	27.746	21	0.02	CETSP-10-22	11	38.272	114	0.15
CETSP-6-23	7	29.058	33	0.04	CETSP-10-23	11	35.299	68	0.08
CETSP-6-24	7	33.151	21	0.02	CETSP-10-24	11	40.596	194	0.24
CETSP-6-25	7	30.280	21	0.02	CETSP-10-25	11	37.139	88	0.11
CETSP-6-26	7	30.264	33	0.04	CETSP-10-26	11	39.277	211	0.26
CETSP-6-27	7	30.783	32	0.04	CETSP-10-27	11	32.420	99	0.12
CETSP-6-28	7	35.940	21	0.02	CETSP-10-28	11	37.996	81	0.10
CETSP-6-29	7	41.384	33	0.03	CETSP-10-29	11	35.405	63	0.07
CETSP-8-0	9	32.069	63	0.08	CETSP-12-0	13	39.338	142	0.20
CETSP-8-1	9	35.697	52	0.06	CETSP-12-1	13	36.202	127	0.18
CETSP-8-2	9	25.439	27	0.03	CETSP-12-2	13	47.604	124	0.16
CETSP-8-3	9	37.387	63	0.08	CETSP-12-3	13	35.264	122	0.18
CETSP-8-4	9	29.294	47	0.06	CETSP-12-4	13	35.417	101	0.13
CETSP-8-5	9	33.514	47	0.06	CETSP-12-5	13	41.358	337	0.46
CETSP-8-6	9	25.672	61	0.07	CETSP-12-6	13	37.860	101	0.14
CETSP-8-7	9	30.022	39	0.04	CETSP-12-7	13	36.973	61	0.08
CETSP-8-8	9	33.499	47	0.06	CETSP-12-8	13	40.990	156	0.21
CETSP-8-9	9	38.936	47	0.06	CETSP-12-9	13	34.931	95	0.12
CETSP-8-10	9	30.246	21	0.02	CETSP-12-10	13	42.983	124	0.16
CETSP-8-11	9	29.826	47	0.06	CETSP-12-11	13	37.885	101	0.13
CETSP-8-12	9	33.321	33	0.04	CETSP-12-12	13	34.975	101	0.13
CETSP-8-13	9	30.726	45	0.05	CETSP-12-13	13	39.387	166	0.22
CETSP-8-14	9	36.420	68	0.08	CETSP-12-14	13	35.921	119	0.16
CETSP-8-15	9	32.921	59	0.07	CETSP-12-15	13	42.698	72	0.09
CETSP-8-16	9	36.022	47	0.06	CETSP-12-16	13	40.948	160	0.23
CETSP-8-17	9	31.365	40	0.05	CETSP-12-17	13	37.094	145	0.21
CETSP-8-18	9	32.128	33	0.04	CETSP-12-18	13	40.735	122	0.17
CETSP-8-19	9	35.199	62	0.08	CETSP-12-19	13	40.487	177	0.24
CETSP-8-20	9	30.768	47	0.06	CETSP-12-20	13	35.198	147	0.21
CETSP-8-21	9	33.503	55	0.07	CETSP-12-21	13	41.530	241	0.33
CETSP-8-22	9	41.536	63	0.07	CETSP-12-22	13	39.740	270	0.37
CETSP-8-23	9	34.153	63	0.08	CETSP-12-23	13	35.212	99	0.13
CETSP-8-24	9	33.788	63	0.08	CETSP-12-24	13	38.687	145	0.19
CETSP-8-25	9	39.793	68	0.08	CETSP-12-25	13	40.777	159	0.21
CETSP-8-26	9	37.755	55	0.06	CETSP-12-26	13	34.894	122	0.18
CETSP-8-27	9	35.772	68	0.09	CETSP-12-27	13	36.297	138	0.20
CETSP-8-28	9	31.315	52	0.07	CETSP-12-28	13	37.256	114	0.15
CETSP-8-29	9	34.974	47	0.05	CETSP-12-29	13	37.005	79	0.10

Tabela A.2: Resultados para as instâncias de Behdani $|V| = 15, 17, 19, 21, r = 0.25$

Instância	$ V $	Opt.	Arv.	CPU T(s)	Instância	$ V $	Opt.	Arv.	CPU T(s)
CETSP-14-0	15	40.445	209	0.32	CETSP-18-0	19	41.322	362	0.60
CETSP-14-1	15	41.751	231	0.31	CETSP-18-1	19	48.079	250	0.35
CETSP-14-2	15	40.154	388	0.62	CETSP-18-2	19	41.234	445	0.72
CETSP-14-3	15	36.239	123	0.18	CETSP-18-3	19	44.681	1259	1.94
CETSP-14-4	15	41.032	454	0.57	CETSP-18-4	19	44.842	238	0.40
CETSP-14-5	15	36.336	166	0.25	CETSP-18-5	19	40.794	211	0.33
CETSP-14-6	15	36.549	93	0.12	CETSP-18-6	19	40.294	798	1.10
CETSP-14-7	15	42.216	210	0.29	CETSP-18-7	19	38.894	173	0.28
CETSP-14-8	15	37.416	168	0.23	CETSP-18-8	19	35.898	140	0.19
CETSP-14-9	15	37.945	99	0.13	CETSP-18-9	19	37.798	264	0.44
CETSP-14-10	15	37.478	170	0.25	CETSP-18-10	19	44.962	295	0.46
CETSP-14-11	15	39.180	200	0.28	CETSP-18-11	19	50.117	722	1.18
CETSP-14-12	15	37.982	214	0.33	CETSP-18-12	19	44.023	354	0.55
CETSP-14-13	15	44.277	137	0.19	CETSP-18-13	19	43.899	507	0.78
CETSP-14-14	15	43.238	210	0.33	CETSP-18-14	19	45.635	1331	2.05
CETSP-14-15	15	41.829	165	0.26	CETSP-18-15	19	42.191	475	0.69
CETSP-14-16	15	45.761	226	0.30	CETSP-18-16	19	45.936	907	1.36
CETSP-14-17	15	36.990	461	0.64	CETSP-18-17	19	45.855	1068	1.66
CETSP-14-18	15	42.912	563	0.79	CETSP-18-18	19	46.274	319	0.48
CETSP-14-19	15	40.263	421	0.60	CETSP-18-19	19	43.434	290	0.44
CETSP-14-20	15	36.329	147	0.20	CETSP-18-20	19	43.548	270	0.38
CETSP-14-21	15	38.699	146	0.19	CETSP-18-21	19	38.735	1246	1.96
CETSP-14-22	15	42.718	307	0.42	CETSP-18-22	19	40.608	291	0.40
CETSP-14-23	15	40.349	102	0.14	CETSP-18-23	19	41.802	284	0.39
CETSP-14-24	15	41.446	137	0.18	CETSP-18-24	19	47.271	1011	1.66
CETSP-14-25	15	37.190	100	0.14	CETSP-18-25	19	45.342	272	0.44
CETSP-14-26	15	43.857	192	0.28	CETSP-18-26	19	47.429	404	0.65
CETSP-14-27	15	38.837	215	0.30	CETSP-18-27	19	43.228	381	0.65
CETSP-14-28	15	39.600	186	0.22	CETSP-18-28	19	42.901	684	1.11
CETSP-14-29	15	35.514	118	0.17	CETSP-18-29	19	46.983	1066	1.53
CETSP-16-0	17	40.875	261	0.40	CETSP-20-0	21	41.663	480	0.84
CETSP-16-1	17	46.802	140	0.20	CETSP-20-1	21	48.582	808	1.30
CETSP-16-2	17	38.612	286	0.44	CETSP-20-2	21	39.706	318	0.56
CETSP-16-3	17	43.401	213	0.32	CETSP-20-3	21	52.071	3147	5.32
CETSP-16-4	17	39.596	344	0.57	CETSP-20-4	21	42.449	541	0.88
CETSP-16-5	17	38.984	186	0.27	CETSP-20-5	21	46.030	479	0.72
CETSP-16-6	17	43.818	432	0.65	CETSP-20-6	21	47.124	996	1.52
CETSP-16-7	17	40.548	588	0.83	CETSP-20-7	21	42.608	313	0.54
CETSP-16-8	17	39.123	196	0.31	CETSP-20-8	21	41.654	712	1.12
CETSP-16-9	17	35.423	170	0.22	CETSP-20-9	21	46.386	419	0.70
CETSP-16-10	17	37.432	236	0.36	CETSP-20-10	21	46.776	1393	2.30
CETSP-16-11	17	41.860	336	0.54	CETSP-20-11	21	46.903	497	0.86
CETSP-16-12	17	52.277	374	0.55	CETSP-20-12	21	43.134	1173	2.01
CETSP-16-13	17	42.703	198	0.32	CETSP-20-13	21	45.156	1678	2.77
CETSP-16-14	17	46.434	288	0.39	CETSP-20-14	21	43.382	930	1.41
CETSP-16-15	17	41.872	1517	2.47	CETSP-20-15	21	43.001	541	0.88
CETSP-16-16	17	41.846	831	1.30	CETSP-20-16	21	46.982	917	1.45
CETSP-16-17	17	39.106	404	0.64	CETSP-20-17	21	44.101	356	0.54
CETSP-16-18	17	45.459	962	1.35	CETSP-20-18	21	46.090	397	0.66
CETSP-16-19	17	43.594	546	0.78	CETSP-20-19	21	44.669	3832	6.12
CETSP-16-20	17	46.199	340	0.48	CETSP-20-20	21	47.551	2155	3.52
CETSP-16-21	17	41.393	171	0.25	CETSP-20-21	21	43.062	392	0.62
CETSP-16-22	17	38.608	165	0.26	CETSP-20-22	21	46.051	740	1.22
CETSP-16-23	17	43.711	344	0.55	CETSP-20-23	21	48.816	2133	3.60
CETSP-16-24	17	40.266	2007	3.00	CETSP-20-24	21	47.472	413	0.73
CETSP-16-25	17	40.601	481	0.76	CETSP-20-25	21	46.423	1691	2.65
CETSP-16-26	17	41.155	247	0.36	CETSP-20-26	21	48.101	955	1.44
CETSP-16-27	17	45.308	320	0.51	CETSP-20-27	21	45.339	472	0.75
CETSP-16-28	17	44.838	306	0.44	CETSP-20-28	21	48.392	1365	2.29
CETSP-16-29	17	43.588	397	0.66	CETSP-20-29	21	42.662	245	0.37

Tabela A.3: Resultados para as instâncias de Behdani $|V| = 7, 9, 11, 13$, $r = 0.50$

Instância	$ V $	Opt.	Arv.	CPU T(s)	Instância	$ V $	Opt.	Arv.	CPU T(s)
CETSP-6-0	7	27.164	21	0.02	CETSP-10-0	11	36.226	63	0.08
CETSP-6-1	7	32.438	16	0.02	CETSP-10-1	11	36.068	55	0.08
CETSP-6-2	7	26.227	16	0.02	CETSP-10-2	11	43.585	88	0.11
CETSP-6-3	7	23.935	21	0.02	CETSP-10-3	11	29.474	62	0.08
CETSP-6-4	7	35.406	21	0.02	CETSP-10-4	11	32.983	63	0.08
CETSP-6-5	7	20.845	21	0.02	CETSP-10-5	11	33.773	81	0.11
CETSP-6-6	7	26.733	11	0.01	CETSP-10-6	11	33.972	60	0.07
CETSP-6-7	7	33.762	7	0.01	CETSP-10-7	11	33.713	45	0.06
CETSP-6-8	7	23.139	16	0.02	CETSP-10-8	11	32.692	47	0.06
CETSP-6-9	7	26.858	21	0.02	CETSP-10-9	11	29.165	79	0.10
CETSP-6-10	7	33.643	3	0.00	CETSP-10-10	11	33.006	63	0.08
CETSP-6-11	7	30.132	27	0.03	CETSP-10-11	11	29.322	63	0.08
CETSP-6-12	7	31.772	21	0.02	CETSP-10-12	11	34.276	101	0.14
CETSP-6-13	7	25.305	21	0.02	CETSP-10-13	11	34.601	33	0.04
CETSP-6-14	7	27.151	16	0.02	CETSP-10-14	11	32.403	33	0.04
CETSP-6-15	7	33.025	16	0.02	CETSP-10-15	11	31.671	21	0.02
CETSP-6-16	7	22.020	16	0.02	CETSP-10-16	11	29.763	47	0.06
CETSP-6-17	7	21.703	11	0.01	CETSP-10-17	11	34.073	63	0.08
CETSP-6-18	7	27.068	21	0.02	CETSP-10-18	11	37.721	33	0.04
CETSP-6-19	7	32.157	21	0.02	CETSP-10-19	11	38.688	77	0.10
CETSP-6-20	7	33.252	32	0.04	CETSP-10-20	11	32.356	79	0.11
CETSP-6-21	7	30.580	33	0.04	CETSP-10-21	11	39.490	46	0.06
CETSP-6-22	7	26.557	21	0.02	CETSP-10-22	11	36.241	63	0.08
CETSP-6-23	7	28.093	21	0.02	CETSP-10-23	11	33.579	53	0.06
CETSP-6-24	7	31.733	21	0.02	CETSP-10-24	11	38.026	141	0.18
CETSP-6-25	7	29.335	7	0.01	CETSP-10-25	11	35.192	63	0.08
CETSP-6-26	7	28.663	21	0.02	CETSP-10-26	11	36.788	161	0.22
CETSP-6-27	7	28.979	32	0.03	CETSP-10-27	11	30.414	80	0.10
CETSP-6-28	7	34.603	11	0.01	CETSP-10-28	11	36.087	64	0.08
CETSP-6-29	7	39.621	21	0.02	CETSP-10-29	11	33.712	63	0.08
CETSP-8-0	9	30.944	16	0.02	CETSP-12-0	13	37.472	120	0.17
CETSP-8-1	9	34.073	47	0.06	CETSP-12-1	13	34.105	87	0.12
CETSP-8-2	9	24.006	33	0.04	CETSP-12-2	13	45.216	96	0.13
CETSP-8-3	9	35.591	47	0.06	CETSP-12-3	13	33.168	72	0.10
CETSP-8-4	9	27.767	47	0.06	CETSP-12-4	13	33.247	63	0.08
CETSP-8-5	9	31.987	27	0.03	CETSP-12-5	13	38.045	207	0.29
CETSP-8-6	9	24.419	39	0.05	CETSP-12-6	13	36.152	72	0.10
CETSP-8-7	9	27.828	40	0.06	CETSP-12-7	13	35.054	61	0.08
CETSP-8-8	9	31.971	21	0.03	CETSP-12-8	13	38.392	135	0.19
CETSP-8-9	9	37.380	33	0.04	CETSP-12-9	13	32.537	72	0.10
CETSP-8-10	9	28.967	21	0.02	CETSP-12-10	13	40.701	109	0.15
CETSP-8-11	9	28.288	47	0.06	CETSP-12-11	13	35.910	63	0.08
CETSP-8-12	9	31.521	33	0.04	CETSP-12-12	13	33.445	51	0.06
CETSP-8-13	9	28.872	33	0.04	CETSP-12-13	13	36.958	100	0.13
CETSP-8-14	9	34.467	68	0.08	CETSP-12-14	13	33.757	80	0.10
CETSP-8-15	9	31.669	47	0.06	CETSP-12-15	13	40.832	47	0.06
CETSP-8-16	9	34.394	33	0.04	CETSP-12-16	13	38.250	101	0.14
CETSP-8-17	9	30.064	21	0.02	CETSP-12-17	13	35.078	81	0.11
CETSP-8-18	9	30.813	33	0.04	CETSP-12-18	13	38.755	80	0.10
CETSP-8-19	9	33.528	63	0.08	CETSP-12-19	13	38.255	126	0.18
CETSP-8-20	9	29.178	33	0.04	CETSP-12-20	13	32.621	135	0.20
CETSP-8-21	9	31.785	33	0.04	CETSP-12-21	13	38.628	101	0.14
CETSP-8-22	9	40.239	16	0.01	CETSP-12-22	13	36.827	147	0.20
CETSP-8-23	9	32.256	47	0.05	CETSP-12-23	13	32.797	79	0.10
CETSP-8-24	9	32.332	47	0.06	CETSP-12-24	13	36.264	95	0.13
CETSP-8-25	9	38.023	46	0.06	CETSP-12-25	13	38.079	79	0.10
CETSP-8-26	9	35.871	47	0.05	CETSP-12-26	13	33.076	79	0.11
CETSP-8-27	9	34.183	52	0.06	CETSP-12-27	13	34.343	89	0.12
CETSP-8-28	9	29.566	47	0.06	CETSP-12-28	13	35.105	77	0.10
CETSP-8-29	9	33.382	47	0.06	CETSP-12-29	13	35.301	60	0.08

Tabela A.4: Resultados para as instâncias de Behdani $|V| = 15, 17, 19, 21, r = 0.50$

Instância	 V 	Opt.	Arv.	CPU T(s)	Instância	 V 	Opt.	Arv.	CPU T(s)
CETSP-14-0	15	38.144	145	0.20	CETSP-18-0	19	38.647	203	0.34
CETSP-14-1	15	38.897	102	0.14	CETSP-18-1	19	44.777	167	0.27
CETSP-14-2	15	36.873	224	0.36	CETSP-18-2	19	38.075	274	0.42
CETSP-14-3	15	34.153	81	0.11	CETSP-18-3	19	41.214	793	1.30
CETSP-14-4	15	37.938	266	0.35	CETSP-18-4	19	41.760	197	0.33
CETSP-14-5	15	34.309	80	0.11	CETSP-18-5	19	38.092	150	0.23
CETSP-14-6	15	34.163	94	0.13	CETSP-18-6	19	37.199	661	0.97
CETSP-14-7	15	39.126	138	0.19	CETSP-18-7	19	36.395	147	0.23
CETSP-14-8	15	34.576	155	0.22	CETSP-18-8	19	33.670	109	0.16
CETSP-14-9	15	36.029	101	0.14	CETSP-18-9	19	34.848	152	0.23
CETSP-14-10	15	34.984	124	0.18	CETSP-18-10	19	41.544	145	0.22
CETSP-14-11	15	36.633	98	0.14	CETSP-18-11	19	46.029	324	0.53
CETSP-14-12	15	35.211	109	0.16	CETSP-18-12	19	40.859	181	0.27
CETSP-14-13	15	42.163	78	0.10	CETSP-18-13	19	40.881	424	0.71
CETSP-14-14	15	39.660	172	0.27	CETSP-18-14	19	42.097	1089	1.71
CETSP-14-15	15	38.956	120	0.18	CETSP-18-15	19	39.184	342	0.53
CETSP-14-16	15	43.036	129	0.18	CETSP-18-16	19	42.831	854	1.40
CETSP-14-17	15	34.118	361	0.51	CETSP-18-17	19	41.837	408	0.64
CETSP-14-18	15	39.138	193	0.28	CETSP-18-18	19	43.036	124	0.18
CETSP-14-19	15	37.169	232	0.33	CETSP-18-19	19	40.200	191	0.30
CETSP-14-20	15	33.705	129	0.19	CETSP-18-20	19	40.761	218	0.33
CETSP-14-21	15	36.001	114	0.16	CETSP-18-21	19	35.102	665	1.18
CETSP-14-22	15	40.335	293	0.41	CETSP-18-22	19	37.855	208	0.29
CETSP-14-23	15	37.776	96	0.14	CETSP-18-23	19	38.742	152	0.22
CETSP-14-24	15	38.901	100	0.14	CETSP-18-24	19	43.602	495	0.82
CETSP-14-25	15	35.315	80	0.11	CETSP-18-25	19	42.263	146	0.22
CETSP-14-26	15	41.050	142	0.20	CETSP-18-26	19	44.130	118	0.18
CETSP-14-27	15	35.670	96	0.14	CETSP-18-27	19	39.536	195	0.32
CETSP-14-28	15	37.160	178	0.23	CETSP-18-28	19	38.639	293	0.50
CETSP-14-29	15	33.382	81	0.11	CETSP-18-29	19	43.128	515	0.73
CETSP-16-0	17	38.275	201	0.33	CETSP-20-0	21	38.739	258	0.46
CETSP-16-1	17	43.809	122	0.19	CETSP-20-1	21	45.003	327	0.52
CETSP-16-2	17	35.349	172	0.26	CETSP-20-2	21	35.925	272	0.50
CETSP-16-3	17	40.967	145	0.22	CETSP-20-3	21	47.701	1063	1.74
CETSP-16-4	17	36.532	185	0.30	CETSP-20-4	21	38.803	334	0.58
CETSP-16-5	17	36.325	127	0.18	CETSP-20-5	21	42.775	436	0.70
CETSP-16-6	17	40.611	276	0.41	CETSP-20-6	21	43.403	452	0.70
CETSP-16-7	17	36.929	389	0.58	CETSP-20-7	21	39.752	257	0.47
CETSP-16-8	17	36.339	169	0.26	CETSP-20-8	21	38.485	287	0.44
CETSP-16-9	17	33.331	114	0.15	CETSP-20-9	21	42.688	193	0.31
CETSP-16-10	17	34.640	135	0.21	CETSP-20-10	21	42.292	424	0.72
CETSP-16-11	17	38.621	140	0.20	CETSP-20-11	21	43.559	236	0.36
CETSP-16-12	17	48.726	149	0.22	CETSP-20-12	21	39.616	628	1.10
CETSP-16-13	17	40.540	111	0.16	CETSP-20-13	21	40.837	550	0.91
CETSP-16-14	17	43.490	174	0.22	CETSP-20-14	21	39.776	393	0.58
CETSP-16-15	17	38.138	632	0.95	CETSP-20-15	21	39.736	365	0.59
CETSP-16-16	17	38.114	317	0.49	CETSP-20-16	21	43.453	483	0.75
CETSP-16-17	17	35.580	216	0.37	CETSP-20-17	21	40.772	208	0.31
CETSP-16-18	17	41.865	426	0.61	CETSP-20-18	21	42.364	232	0.40
CETSP-16-19	17	40.260	255	0.36	CETSP-20-19	21	40.147	1180	1.91
CETSP-16-20	17	43.267	182	0.26	CETSP-20-20	21	43.641	718	1.18
CETSP-16-21	17	38.757	97	0.13	CETSP-20-21	21	40.437	223	0.33
CETSP-16-22	17	36.616	80	0.12	CETSP-20-22	21	42.471	468	0.80
CETSP-16-23	17	40.556	206	0.32	CETSP-20-23	21	44.577	709	1.23
CETSP-16-24	17	36.057	724	1.08	CETSP-20-24	21	44.272	281	0.52
CETSP-16-25	17	37.188	166	0.27	CETSP-20-25	21	42.111	722	1.14
CETSP-16-26	17	38.817	186	0.26	CETSP-20-26	21	44.167	417	0.64
CETSP-16-27	17	41.874	184	0.29	CETSP-20-27	21	41.926	324	0.55
CETSP-16-28	17	41.669	177	0.26	CETSP-20-28	21	44.357	474	0.80
CETSP-16-29	17	40.348	209	0.35	CETSP-20-29	21	39.296	200	0.32

Tabela A.5: Resultados para as instâncias de Behdani $|V| = 7, 9, 11, 13, r = 1.0$

Instância	$ V $	Opt.	Arv.	CPU T(s)	Instância	$ V $	Opt.	Arv.	CPU T(s)
CETSP-6-0	7	25.492	21	0.03	CETSP-10-0	11	33.676	47	0.06
CETSP-6-1	7	30.070	7	0.01	CETSP-10-1	11	33.975	22	0.03
CETSP-6-2	7	23.583	7	0.01	CETSP-10-2	11	39.391	45	0.06
CETSP-6-3	7	21.242	7	0.01	CETSP-10-3	11	25.712	21	0.03
CETSP-6-4	7	32.872	11	0.02	CETSP-10-4	11	29.385	47	0.06
CETSP-6-5	7	18.328	33	0.04	CETSP-10-5	11	30.549	33	0.04
CETSP-6-6	7	24.583	11	0.01	CETSP-10-6	11	29.905	52	0.06
CETSP-6-7	7	31.874	7	0.01	CETSP-10-7	11	31.081	16	0.02
CETSP-6-8	7	21.429	7	0.01	CETSP-10-8	11	30.131	21	0.03
CETSP-6-9	7	24.651	3	0.01	CETSP-10-9	11	26.385	72	0.10
CETSP-6-10	7	31.547	3	0.01	CETSP-10-10	11	29.958	27	0.04
CETSP-6-11	7	27.599	7	0.01	CETSP-10-11	11	25.754	46	0.06
CETSP-6-12	7	28.757	21	0.02	CETSP-10-12	11	31.008	52	0.06
CETSP-6-13	7	22.859	11	0.02	CETSP-10-13	11	31.673	33	0.04
CETSP-6-14	7	24.410	7	0.01	CETSP-10-14	11	29.243	16	0.02
CETSP-6-15	7	30.915	21	0.02	CETSP-10-15	11	29.146	21	0.02
CETSP-6-16	7	19.410	3	0.00	CETSP-10-16	11	26.944	33	0.04
CETSP-6-17	7	19.719	3	0.01	CETSP-10-17	11	30.583	47	0.06
CETSP-6-18	7	24.642	21	0.02	CETSP-10-18	11	35.006	18	0.03
CETSP-6-19	7	30.289	1	0.01	CETSP-10-19	11	35.341	33	0.04
CETSP-6-20	7	30.112	21	0.02	CETSP-10-20	11	29.807	16	0.03
CETSP-6-21	7	27.666	33	0.04	CETSP-10-21	11	36.794	21	0.03
CETSP-6-22	7	24.699	11	0.02	CETSP-10-22	11	33.030	55	0.07
CETSP-6-23	7	26.323	21	0.02	CETSP-10-23	11	30.539	47	0.06
CETSP-6-24	7	29.251	11	0.01	CETSP-10-24	11	33.796	63	0.08
CETSP-6-25	7	27.683	3	0.01	CETSP-10-25	11	31.857	33	0.04
CETSP-6-26	7	25.540	21	0.02	CETSP-10-26	11	32.308	78	0.11
CETSP-6-27	7	25.691	32	0.04	CETSP-10-27	11	27.130	58	0.08
CETSP-6-28	7	32.081	11	0.02	CETSP-10-28	11	32.835	25	0.03
CETSP-6-29	7	36.183	21	0.02	CETSP-10-29	11	31.368	33	0.04
CETSP-8-0	9	28.952	16	0.02	CETSP-12-0	13	34.781	40	0.04
CETSP-8-1	9	31.040	40	0.05	CETSP-12-1	13	31.290	15	0.02
CETSP-8-2	9	21.442	11	0.02	CETSP-12-2	13	41.043	63	0.08
CETSP-8-3	9	32.872	11	0.02	CETSP-12-3	13	29.392	47	0.06
CETSP-8-4	9	25.130	22	0.03	CETSP-12-4	13	29.861	33	0.04
CETSP-8-5	9	29.458	7	0.01	CETSP-12-5	13	32.559	120	0.18
CETSP-8-6	9	22.370	21	0.03	CETSP-12-6	13	34.125	7	0.01
CETSP-8-7	9	24.883	16	0.02	CETSP-12-7	13	31.965	47	0.06
CETSP-8-8	9	29.024	16	0.02	CETSP-12-8	13	34.148	80	0.11
CETSP-8-9	9	34.773	21	0.03	CETSP-12-9	13	28.670	63	0.08
CETSP-8-10	9	26.870	7	0.01	CETSP-12-10	13	36.543	70	0.09
CETSP-8-11	9	25.265	47	0.06	CETSP-12-11	13	32.700	39	0.05
CETSP-8-12	9	29.043	21	0.02	CETSP-12-12	13	30.844	37	0.05
CETSP-8-13	9	25.410	33	0.04	CETSP-12-13	13	33.012	67	0.09
CETSP-8-14	9	30.538	69	0.08	CETSP-12-14	13	30.262	33	0.04
CETSP-8-15	9	29.667	33	0.04	CETSP-12-15	13	37.461	33	0.04
CETSP-8-16	9	31.628	16	0.02	CETSP-12-16	13	34.406	33	0.04
CETSP-8-17	9	27.788	11	0.02	CETSP-12-17	13	32.065	33	0.04
CETSP-8-18	9	28.266	33	0.04	CETSP-12-18	13	35.911	33	0.04
CETSP-8-19	9	30.907	21	0.03	CETSP-12-19	13	34.633	63	0.08
CETSP-8-20	9	26.556	21	0.03	CETSP-12-20	13	29.612	63	0.08
CETSP-8-21	9	29.067	33	0.04	CETSP-12-21	13	34.539	46	0.06
CETSP-8-22	9	37.842	12	0.02	CETSP-12-22	13	32.308	78	0.11
CETSP-8-23	9	28.988	27	0.03	CETSP-12-23	13	29.230	47	0.06
CETSP-8-24	9	29.801	7	0.01	CETSP-12-24	13	31.748	81	0.11
CETSP-8-25	9	34.837	46	0.06	CETSP-12-25	13	34.127	62	0.08
CETSP-8-26	9	32.499	33	0.04	CETSP-12-26	13	29.896	32	0.04
CETSP-8-27	9	31.435	26	0.03	CETSP-12-27	13	30.937	60	0.08
CETSP-8-28	9	26.912	16	0.02	CETSP-12-28	13	31.753	54	0.07
CETSP-8-29	9	31.118	7	0.01	CETSP-12-29	13	32.269	47	0.06

Tabela A.6: Resultados para as instâncias de Behdani $|V| = 15, 17, 19, 21$, $r = 1.0$

Instância	$ V $	Opt.	Arv.	CPU T(s)	Instância	$ V $	Opt.	Arv.	CPU T(s)
CETSP-14-0	15	34.891	63	0.09	CETSP-18-0	19	35.121	63	0.09
CETSP-14-1	15	34.924	33	0.04	CETSP-18-1	19	39.579	91	0.14
CETSP-14-2	15	32.633	47	0.06	CETSP-18-2	19	32.945	101	0.15
CETSP-14-3	15	31.126	47	0.06	CETSP-18-3	19	35.849	170	0.24
CETSP-14-4	15	32.846	87	0.12	CETSP-18-4	19	37.675	47	0.06
CETSP-14-5	15	31.186	47	0.06	CETSP-18-5	19	34.073	86	0.12
CETSP-14-6	15	30.177	78	0.11	CETSP-18-6	19	31.038	300	0.47
CETSP-14-7	15	34.487	79	0.11	CETSP-18-7	19	32.758	47	0.07
CETSP-14-8	15	29.768	112	0.16	CETSP-18-8	19	30.074	63	0.09
CETSP-14-9	15	33.177	21	0.03	CETSP-18-9	19	31.082	54	0.07
CETSP-14-10	15	30.981	72	0.10	CETSP-18-10	19	36.530	98	0.15
CETSP-14-11	15	32.312	81	0.12	CETSP-18-11	19	40.579	146	0.22
CETSP-14-12	15	30.852	63	0.08	CETSP-18-12	19	36.199	99	0.15
CETSP-14-13	15	38.265	46	0.06	CETSP-18-13	19	35.674	191	0.28
CETSP-14-14	15	35.034	81	0.11	CETSP-18-14	19	35.797	189	0.29
CETSP-14-15	15	35.122	81	0.12	CETSP-18-15	19	34.262	108	0.16
CETSP-14-16	15	38.485	64	0.09	CETSP-18-16	19	36.065	215	0.34
CETSP-14-17	15	29.067	158	0.24	CETSP-18-17	19	35.929	131	0.21
CETSP-14-18	15	33.622	80	0.11	CETSP-18-18	19	38.803	47	0.07
CETSP-14-19	15	32.327	98	0.14	CETSP-18-19	19	36.045	87	0.13
CETSP-14-20	15	29.732	72	0.10	CETSP-18-20	19	36.313	96	0.14
CETSP-14-21	15	32.089	80	0.12	CETSP-18-21	19	29.907	81	0.12
CETSP-14-22	15	35.956	91	0.13	CETSP-18-22	19	33.977	172	0.24
CETSP-14-23	15	33.998	59	0.08	CETSP-18-23	19	33.849	101	0.15
CETSP-14-24	15	34.632	54	0.08	CETSP-18-24	19	37.888	200	0.34
CETSP-14-25	15	32.228	47	0.06	CETSP-18-25	19	37.034	91	0.14
CETSP-14-26	15	36.858	84	0.11	CETSP-18-26	19	39.959	33	0.05
CETSP-14-27	15	31.327	47	0.07	CETSP-18-27	19	35.011	63	0.09
CETSP-14-28	15	32.964	115	0.16	CETSP-18-28	19	32.906	135	0.22
CETSP-14-29	15	30.086	47	0.07	CETSP-18-29	19	36.725	200	0.30
CETSP-16-0	17	34.891	63	0.09	CETSP-20-0	21	35.182	80	0.12
CETSP-16-1	17	39.564	63	0.09	CETSP-20-1	21	39.549	81	0.12
CETSP-16-2	17	30.317	54	0.08	CETSP-20-2	21	31.125	101	0.16
CETSP-16-3	17	36.763	109	0.16	CETSP-20-3	21	41.023	225	0.36
CETSP-16-4	17	32.754	61	0.09	CETSP-20-4	21	33.327	147	0.24
CETSP-16-5	17	32.136	101	0.14	CETSP-20-5	21	36.919	184	0.32
CETSP-16-6	17	35.219	212	0.31	CETSP-20-6	21	37.616	185	0.29
CETSP-16-7	17	30.988	208	0.36	CETSP-20-7	21	35.581	91	0.13
CETSP-16-8	17	32.571	47	0.06	CETSP-20-8	21	33.817	103	0.16
CETSP-16-9	17	30.038	33	0.05	CETSP-20-9	21	37.473	79	0.11
CETSP-16-10	17	31.029	63	0.09	CETSP-20-10	21	35.743	192	0.33
CETSP-16-11	17	34.141	79	0.12	CETSP-20-11	21	38.366	137	0.22
CETSP-16-12	17	43.595	101	0.16	CETSP-20-12	21	34.488	321	0.52
CETSP-16-13	17	37.177	63	0.09	CETSP-20-13	21	34.494	157	0.26
CETSP-16-14	17	38.259	73	0.12	CETSP-20-14	21	34.645	135	0.20
CETSP-16-15	17	32.576	169	0.27	CETSP-20-15	21	34.790	163	0.22
CETSP-16-16	17	32.729	118	0.18	CETSP-20-16	21	37.822	189	0.30
CETSP-16-17	17	30.857	101	0.17	CETSP-20-17	21	36.094	109	0.16
CETSP-16-18	17	36.428	180	0.27	CETSP-20-18	21	36.882	146	0.24
CETSP-16-19	17	35.113	95	0.14	CETSP-20-19	21	32.868	197	0.31
CETSP-16-20	17	38.367	101	0.16	CETSP-20-20	21	38.084	276	0.44
CETSP-16-21	17	34.724	55	0.08	CETSP-20-21	21	35.649	166	0.28
CETSP-16-22	17	33.343	46	0.08	CETSP-20-22	21	36.922	154	0.25
CETSP-16-23	17	36.513	101	0.15	CETSP-20-23	21	38.927	254	0.45
CETSP-16-24	17	29.977	118	0.18	CETSP-20-24	21	40.088	97	0.15
CETSP-16-25	17	32.967	63	0.09	CETSP-20-25	21	35.367	250	0.42
CETSP-16-26	17	34.358	130	0.20	CETSP-20-26	21	38.045	139	0.21
CETSP-16-27	17	36.953	112	0.17	CETSP-20-27	21	36.404	356	0.62
CETSP-16-28	17	36.534	100	0.14	CETSP-20-28	21	38.698	86	0.13
CETSP-16-29	17	36.786	21	0.03	CETSP-20-29	21	34.393	86	0.12